

تأثیر ترکیب سنگ‌های سیلیسی آواری و کربناته بر تاریخچه پس از رسوب‌گذاری: بررسی موردنی از سازند نایبند و نهشته‌های کرتاسه پایینی، شمال خاور اصفهان

ژهرا مژروعی‌سبدانی^۱، محمدعلی صالحی^{۲*}، حمیدرضا پاکزاد^۳ و علی بهرامی^۴

۱، ۲، ۳ و ۴- گروه زمین‌شناسی، دانشکده علوم پایه، دانشگاه اصفهان

نویسنده مسئول: ma.salehi@sci.ui.ac.ir

دریافت: ۹۶/۱/۱۹ پذیرش: ۹۶/۷/۱۰

چکیده

این پژوهش به بررسی فرآیندهای دیاژنزی توالی آواری و کربناته تریاس بالایی و کرتاسه پایینی در برش کوه بجاهه شمال خاور اصفهان می‌پردازد. روش بررسی در این پژوهش شامل مطالعات میدانی و نمونه‌برداری سیستماتیک و سپس پتروگرافی برش نازک سنگ‌های آواری و کربناته به وسیله میکروسکوپ پلاریزان و کاتدولومینسانس بوده است. توالی مورد بررسی دارای ۱۶۷ متر ستبرای بوده و در برگیرنده بخش‌های بالایی بخش قدیر سازند نایبند و توالی آواری (واحد K_1) و کربناته (واحد K_2) قاعده کرتاسه پایینی می‌باشد. مطالعات دیاژنسی در رخسارهای آواری منجر به شناسایی فرآیندهای آشفتگی زیستی، دگرسانی فلدسپات، نوع همبری دانه‌ها، انواع سیمان شامل کلسیتی، اکسید آهن و کانی رسی (مربوط به مرحله انژنز) و فشردگی شیمیایی، انواع سیمان دولومیتی، رشد هم محور کوارتز و کانی رسی (مربوط به مرحله مژوزنز) گردیده است. سیمان اکسید آهن و کانی رسی، شکستگی و پرشدگی رگه توسط سیمان دولومیتی مربوط به مرحله تلوژنز می‌باشد. بررسی‌های انجام شده نشانگر تأثیر ترکیب ماسه‌سنگ‌ها بر روند و محصولات دیاژنس است. از جمله تأثیرات ترکیب سیلیسی آواری‌ها بر روی فرآیندهای دیاژنسی فراوانی بالای سیمان کانی رسی، همچنین افزایش دگرسانی فلدسپات در پتروفاسیس‌های ماسه‌سنگی سرشار از فلدسپات بخش قدیر است. بررسی‌ها همچنین نشانگر فراوانی بالای فرآیند سیمان رشد هم محور سیلیسی در پتروفاسیس‌های ماسه‌سنگی سرشار از کوارتز در واحد K_1 می‌باشد. در بررسی دیاژنس سنگ‌های کربناته واحد K_2 نیز فرآیندهای میکرایتی شدن و آشفتگی زیستی، سیمان فیبری هم ستبرای در مرحله دیاژنس دریابی و سیمان آویزهای و اکسید آهن مربوط به مرحله دیاژنس هواه شناسایی شد. سیمان آویزهای و کلسیت دروزی و دندانهای، سیمان اکسید آهن، مربوط به مرحله دیاژنس اشباع از آب مرحله جوی است. از جمله فرآیندهای دیاژنس مرحله دفنی انواع سیمان تیغه‌ای-منشوری، دولومیتی، بلوكی، رشد هم محور و فرآیندهای فشردگی و شکستگی می‌باشد. سیمان محیط‌های مختلف دارای لومینسانس تیره، قرمز تا بدون لومینسانس هستند که منجر به جدایش فازهای گوناگون سیمانی در نهشته‌های کربناته گردیده است. در طی بالاًمدگی نیز سیمان اکسید آهن و شکستگی و پر شدن آن رخ داده است. بررسی تمامی فرآیندهای دیاژنسی رخسارهای آواری و کربناته نشانگر انواع مراحل مختلف دیاژنس آغازین، میانی، دفنی، تدفین ژرف و بالاًمدگی و رخداد آن‌ها زیر تأثیر ترکیب نهشته‌ها می‌باشد.

واژه‌های کلیدی: دیاژنس، بخش قدیر، کرتاسه پایینی، شمال خاور اصفهان

۱- مقدمه

بررسی نقش ترکیب کانی‌شناسی رسوبات بر روند دیاژنس موضوع پژوهش بسیاری از پژوهش‌های دیاژنس در سنگ‌های رسوبی است. در محدوده منطقه‌ی مورد بررسی چندین پژوهش بر روی توالی تریاس پسین و کرتاسه پیشین از دید زیست‌چینه‌نگاری، سنگ‌چینه‌نگاری، شناسایی محیط رسوبی بر پایه ویژگی‌های زیستی انجام گرفته است (منانی و یزدی، ۲۰۰۹؛ صوبیری داریان و رشیدی، ۲۰۱۰؛ نوتزل و همکاران، ۲۰۱۰؛ سید امامی و ولی‌حسن، ۲۰۱۶). اما بررسی توالی‌های رسوبی در مرز تولیاس تا

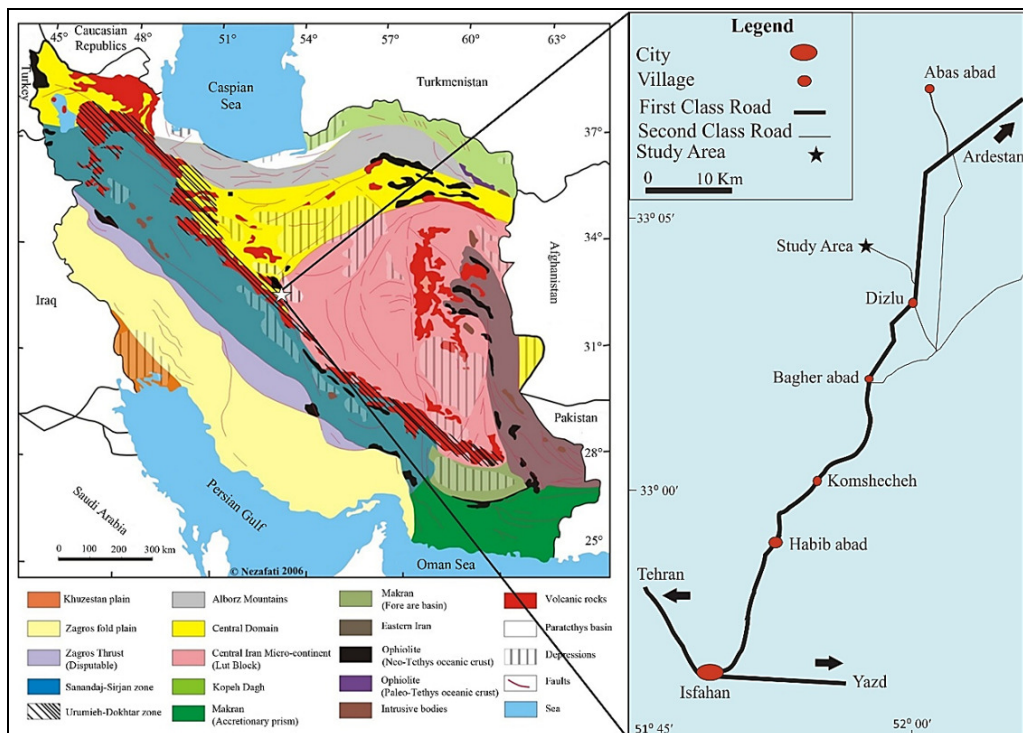
محیط رسوبی، آب و هوا، ترکیب و بافت رسوب، تاریخچه دفن همراه با شیمی آب‌های منفذی از فاکتورهای مهم و تاثیرگذار بر دیاژنس رسوبات است (کیم و همکاران، ۲۰۰۷). ترکیب کانی‌شناسی رسوبات آواری نزدیک ۵۰ الی ۹۰ درصد از رویدادهای دیاژنسی را که بر سنگ حاکم خواهد بود، در کنترل دارد. همچنین سن رسوبات و شکل هندسی لایه‌ها، اقلیم و محیط رسوبی (تاکر و رایت، ۱۹۹۰؛ پارسه‌ریسا، ۲۰۰۶) و رخسارهای سنگی (مولنر و همکاران، ۲۰۰۷) نیز نقش بهسزایی در دیاژنس دارند.

کرتاسه پایینی به عنوان اولین نهشته‌ها پس از رخداد سیمیرین به صورت ناپیوسته بر روی نهشته‌های آواری تریاس در این منطقه نهشته شده است. برش مورد بررسی در ۴۷ کیلومتری شمال خاور اصفهان در نزدیکی روستای دیزلو و در دامنه جنوبی کوه بجارة قرار دارد. مختصات جغرافیایی این برش بدین شرح می‌باشد: N 33° 05' 33.7" و E 51° 57' 34.9" (شکل ۱). این برش دارای بخش‌های پایانی تریاس و بخش‌های آغازین کرتاسه پایینی (واحدهای K₁ و K₂) با سمترا ۱۶۷ متر است (شکل ۲ الف). در برش مورد بررسی ۱۰ واحد جدا شد (شکل ۲ ب) که شامل بخش‌های پایانی بخش قدیر از سازند ناییند و بخش‌های آغازین کرتاسه پایینی است و یک واحد در بخش قدیر و ۹ واحد در کرتاسه پایینی جدا گردید (شکل ۲ ب). مرز پایینی بخش قدیر توسط دشت پوشیده شده و مرز بالایی با ناپیوستگی فرسایشی در زیر کنگلومراتی قاعده کرتاسه قرار گرفته است (منانی و یزدی، ۱۳۹۴). لازم به یادآوری است، واحدهای آواری کرتاسه (واحد K₁) (شکل ۲ ج) توسط توالی‌های کربناته (شکل ۲ د) واحد K₂ به صورت پیوسته و تدریجی پوشیده می‌شود.

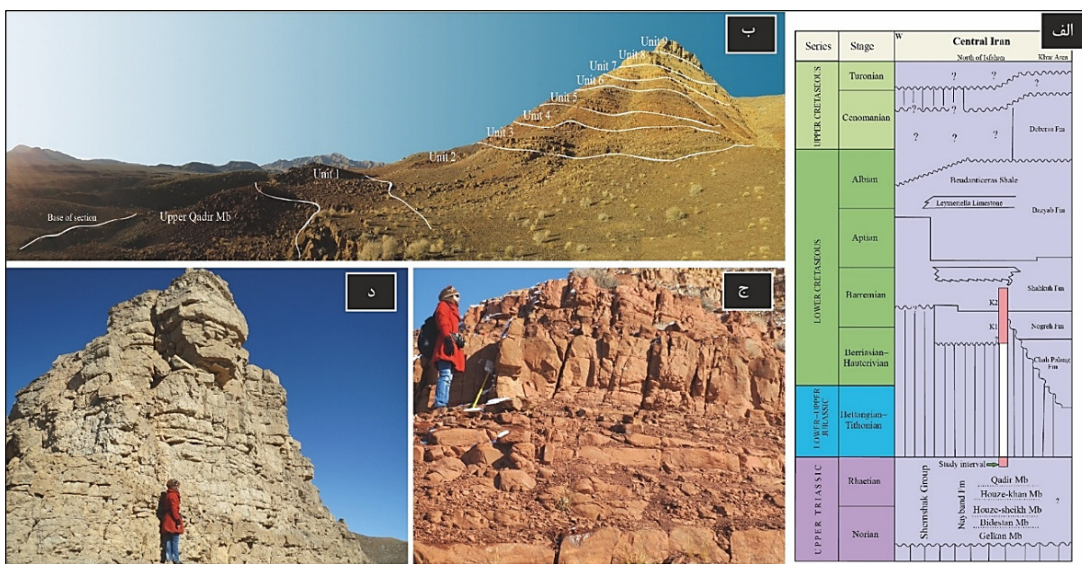
کرتاسه پیشین از دید سنگ‌شناسی رسوبی مورد بررسی دقیق قرار نگرفته است. از همین روی، بررسی فرآیندهای دیاژنزی حاکم در زمان تنشست توالی‌های رسوبی تریاس پسین و کرتاسه پیشین می‌تواند به شناخت بهتر حوضه رسوب‌گذاری و فرآیندهای حاکم بر آن در طی این بازه زمانی و تاریخچه پس از رسوب‌گذاری کمک نماید. هدف این پژوهش بررسی فرآیندهای دیاژنسی بخش پایانی بخش قدیر سازند ناییند و توالی آواری و کربناته کرتاسه پایینی و بررسی نقش ترکیب نهشته‌ها در پیدایش فرآیندهای دیاژنسی است.

۲- جایگاه جغرافیایی و زمین‌شناسی

منطقه مورد بررسی، از دید پهنه‌های ساختاری، در لبه‌ی شمال خاوری پهنه سندج- سیرجان و کناره باختری صفحه ایران مرکزی قرار گرفته است (شکل ۱). این مناطق در زمان مژوزئیک به منطقه‌ای پر تحرک و پویا تبدیل شده‌اند؛ به طوری که شواهد فرسایش و نبود رسوب‌گذاری گسترده‌ای در زمان تریاس بالایی تا کرتاسه زیرین در این ناحیه وجود داشته است (آقانباتی، ۱۳۸۵ ویلسن و همکاران ۲۰۱۵). نهشته‌های آواری و کربناته



شکل ۱. جایگاه پهنه‌های ساختاری ایران (آقانباتی، ۱۳۸۵) و راههای دسترسی به منطقه مورد بررسی (اطلس راههای ایران، ۱۳۸۴)



شکل ۲. الف: ستون چینه‌شناسی تریاپس پسین (اقتباس با تغییراتی از سید امامی، ۲۰۰۳) – کرتاسه پیشین در ایران مرکزی (برگرفته با تغییراتی ایمل و همکاران، ۱۹۹۷؛ ویلسن و همکاران، ۲۰۱۵)؛ ب: تفکیک واحدهای چینه‌شناسی بر روی تصویر میدانی در برش مورد بررسی، ج: تصویر میدانی ماسه‌سنگ‌های کرتاسه پایینی، د: تصویر واحدهای آهکی کرتاسه پایینی

محیط رسوبی و جغرافیای دیرینه در اختیار می‌گذارد (دیکینسون، ۱۹۸۸). بر پایه بررسی‌های پتروگرافی و نقطه‌شماری بر روی برش‌های ماسه‌سنگ‌های توالی مورد بررسی دو پتروفاسیس آرکوز و لیتیک‌آرکوز در بخش قدیر و دو پتروفاسیس ساب چرت‌آرنایت و ساب فیلارنایت در کرتاسه پایینی تفکیک شده است (مزروعی سبدانی و همکاران، ۱۳۹۵). آرکوزها در بخش قدیر دارای جورش‌گی خوب و نسبتاً گرد شده و دارای رسیدگی بافتی نیمه‌رسیده^۱ می‌باشند (شکل ۳ الف). لیتیک آرکوزها از نوع بسیار ریز دانه و دارای جورش‌گی خوب و نسبتاً گرد شده و رسیدگی بافتی نیمه‌رسیده می‌باشند (شکل ۳ ب)، برخی نمونه‌های ماسه‌سنگی کرتاسه پایینی از نوع ساب سدآرنایت هستند (شکل ۳ ج). البته در تقسیم‌بندی جزئی‌تر در محدوده ساب چرت‌آرنایت واقع شده‌اند و قطعات خرده‌سنگی از نوع چرت بخش عمده آن‌ها را تشکیل می‌دهد. سایر نمونه‌های ماسه‌سنگی در این توالی ساب فیلارنایت هستند (شکل ۳ د). در این پتروفاسیس‌های بسیار ریز دانه تا ریز، جورش‌گی خوب و نیمه گرد شده و دارای رسیدگی بافتی رسیده^۲ می‌باشد.

۳- روش پژوهش

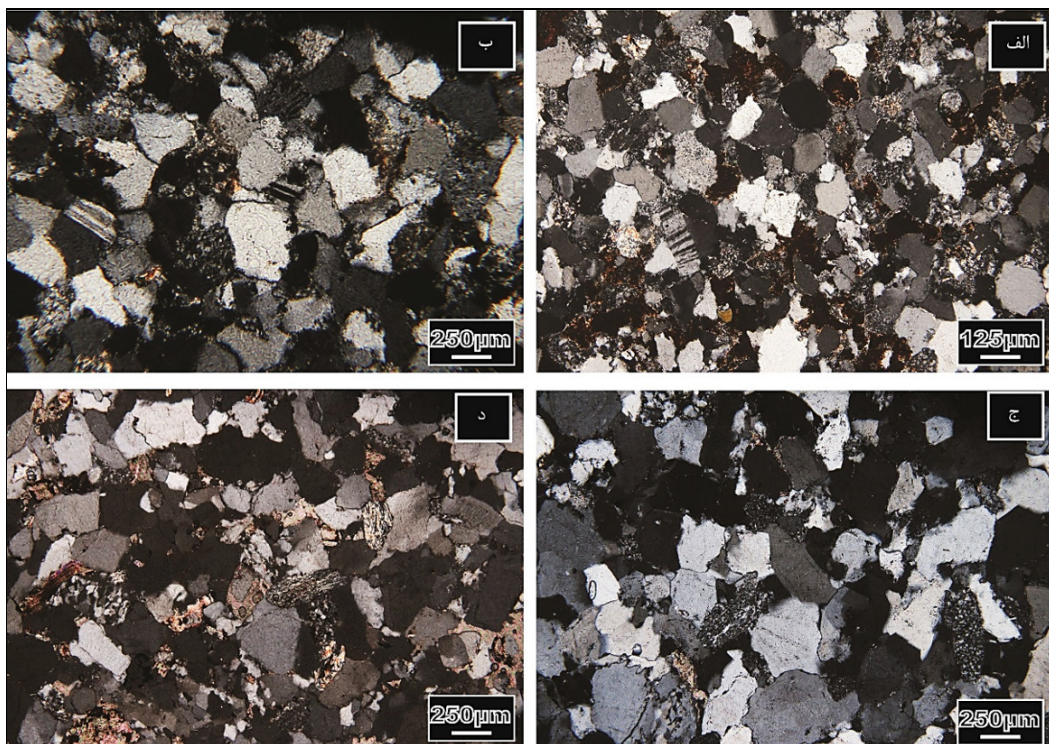
در برش کوه بجایه ستبرای واحدها توسط ژاکوب اندازه‌گیری و نمونه‌برداری به صورت سیستماتیک بوده است. ۷۴ نمونه برش نازک توسط میکروسکوپ پلازیان از بخش پایانی بخش قدیر و نهشته‌های کنگلومرا، ماسه‌سنگی و کربناته توالی کرتاسه پایینی مورد بررسی قرار گرفت. نمونه‌های آواری به روش نقطه شماری گزی دیکینسون (نقل از اینگرسول ۱۹۸۴) مورد شمارش حدود ۳۰۰ نقطه قرار گرفت و نام‌گذاری ماسه‌سنگ‌ها با استفاده از فولک (۱۹۸۰) انجام شد. برای شناسایی کانی کلسيت از دولومیت برش‌های نازک توسط محلول آلیارین سرخ و فروسانید پتابسیم به روش دیکسون (۱۹۶۵) رنگ‌آمیزی شدند. نام‌گذاری و بررسی برش‌های کربناته بر پایه روش دانهام (۱۹۶۲) انجام شد، همچنین برای بازسازی کامل‌تر توالی پارازنز کربناته برش‌های نازک صیقلی دارای سیمان کربناته توسط دستگاه کاتدولومینسنس مدل CTL MK5-1 متصل به میکروسکوپ پلازیان در گروه زمین‌شناسی دانشگاه اصفهان مورد بررسی قرار گرفت.

۴- نتایج

۴-۱- پتروگرافی

مطالعات پتروگرافی اطلاعات با ارزشی در رابطه با تاریخچه رسوب‌گذاری و سپس شرایط آب و هوایی

¹ submature
² mature



شکل ۳. تصاویر میکروسکوپی پتروفاسیس‌های بخش قدیر و واحد K_1 کرتاسه پایینی. الف: پتروفاسیس آرکوز از بخش قدیر (مقطع B۱۹); ب: پetrofasis لیتیک آرکوز از بخش قدیر (مقطع B۷۸); ج: پetrofasis ساب چرت آرنایت از کرتاسه پایینی (مقطع B۸۶/۵); د: پetrofasis ساب فیلانایت از کرتاسه پایینی (مقطع B۸۶/۵)

ریختگی لایه‌بندی و ساختهای رسوبی می‌شود و به صورت رخساره‌های توده‌ای در ماسه‌سنگ‌های توالی مورد بررسی وجود دارد.

۲-۲-۴- فشردگی فیزیکی^۲

از جمله آثار این نوع فشردگی انواع همبری‌های نقطه‌ای و طولی می‌باشد (شکل ۴ ب). فشردگی فیزیکی سبب آب‌زدایی، کاهش حجم و همچنین کاهش تخلخل در رسوبات و فشردگی کم می‌شود (مورک و موئن، ۲۰۰۷). معمولاً فشردگی فیزیکی در ۵۰۰ متر اولیه تدفین به بیشترین مقدار خود می‌رسد (وردن و بورلی، ۲۰۰۳). همچنین در کنگلومراهای مورد بررسی انواع همبری‌های نقطه‌ای و طولی دیده شد (شکل ۴ ج). فشردگی فیزیکی در نمونه‌های بخش قدیر نسبت به کرتاسه بیشتر دیده شد، که از جمله دلایل آن ریزتر بودن ماسه‌سنگ‌های قدیر و میزان کم سیمان (به ویژخ سیمان رشد هم‌محور) است.

۲-۴- دیاژنز سنگ‌های سیلیسی آواری

از جمله فرآیندهای دیاژنزی شناسایی شده در ماسه‌سنگ‌های بخش قدیر سازند نایبند و کرتاسه پایینی شامل آشفتگی زیستی، فشردگی، دگرسانی فلدسپات، انواع سیمان‌های کلسیتی، دولومیتی، اکسید آهن، رشد هم‌محور سیلیس، کانی رسی، شکستگی و پر شدگی رگه‌ها می‌باشد، همچنین فرآیندهای دیاژنزی در کنگلومراها شامل سیمان اکسید آهن، سیمان کلسیت دروزی، سیمان دولومیتی، سیمان دولومیتی آهن دار حفره پرکن و انواع همبری‌های طولی، کاوه‌کوز و مضرس می‌باشد که در ادامه به توضیح و تفسیر آن‌ها پرداخته خواهد شد.

۲-۴-۱- آشفتگی زیستی^۱

از جمله ابتدایی‌ترین فرآیندهای دیاژنزی که در روی زمین نیز دیده می‌شود آشفتگی زیستی است (شکل ۴ الف). این فرآیند در اثر فعالیت موجودات باعث به هم

² Compaction

¹ Bioturbation

می‌شود (شکل‌های ۳ و ۴^۴). میانگین این سیمان در ماسه‌سنگ‌های بخش قدری^۴ درصد و در ماسه‌سنگ‌های کرتاسه پایینی^۲ درصد است (جدول ۱). عوامل گوناگونی در ساخت سیمان کربناته دخالت دارد که محتمل ترین آن‌ها سیمانی شدن کربناته در اثر انحلال کانی‌های ناپایدار مانند آرآگونیت و جابه‌جایی یون‌ها طی مسافت‌های دراز توسط آب‌های زیرسطحی و تدفینی، انحلال دانه‌ها در اثر فشردگی شیمیایی را می‌توان به عنوان منبع تأمین کننده کلسیم در نظر گرفت (شول و اولمر شول، ۲۰۰۶). همچنین کلسیت از واپاشی فلدسپات‌ها نیز پدید می‌آید (مراد، ۱۹۹۸)، سیمان کلسیتی باشتر در بخش قدری به دلیل دگرسانی فلدسپات دیده می‌شود. گاهی دانه‌ها توسط سیمان کربناته شوند که این فرآیند با تغییر در ویژگی‌های فیزیکی و شیمیایی محیط ساخت و افزایش pH محیط در دمای بالا انجام می‌پذیرد (مراد، ۱۹۹۸). سیمان کربناته در نمونه‌های کنگلومرایی مورد بررسی به صورت پراکنده و پیوسته به همراه ماتریکس آواری در پیرامون دانه‌ها دیده می‌شود. این سیمان به دو صورت کلسیت بلوكی، کلسیت با فابریک دروزی (شکل ۴ و) وجود دارد. سیمان کلسیت دروزی احتمالاً طی مراحل اولیه دیاژنز ساخته شده است (مراد و همکاران، ۲۰۱۰).

۴-۶- سیمان دولومیتی^۷

سیمان دولومیتی به همراه زون‌بندی در برش‌های مورد بررسی قابل شناسایی است (شکل ۴‌ی). سیال‌های اشباع از یون منیزیم که از بخش‌های کناری تأمین شده‌اند و همچنین تبدیل کانی‌های رسی به یکدیگر سبب فوق اشباع شدن سیال منفذی از یون منیزیم شده است. منیزیم مورد نیاز برای تهشیینی دولومیت ثانویه می‌تواند تبدیل رس‌ها به یکدیگر یا انحلال سیلیکات‌های سرشار از منیزیم سرچشمه گرفته باشد (تاکر، ۱۹۹۰؛ رید و همکاران، ۲۰۰۵). در نمونه‌های کنگلومرایی مورد بررسی بلورهای خودشکل دولومیت قابل مشاهده بوده و همچنین سیمان دولومیتی آهن‌دار به صورت حفره پر کن در فضای حفره قرار گرفته است (شکل ۴‌ز).

۴-۳-۲- دگرسانی فلدسپات^۳

دگرسانی فلدسپات‌ها بیشتر در طول شکستگی‌های کوچک^۴، رخ‌ها و سطوح تماس رخ داده است (شکل ۴‌د). شکستگی‌های کوچک در فلدسپارها در اثر فرآیند فشردگی گسترش می‌باشد. بنابراین، سیال منفذی به آسانی از این شکستگی‌ها گذر کرده و دگرسانی فلدسپات‌ها را سبب می‌شود (کیم و همکاران، ۲۰۰۷). دگرسانی فلدسپات‌ها طی دفن و قبل از تشکیل سیمان سیلیسی و در دمای ۹۰ تا ۱۵۰ درجه سانتی‌گراد رخ می‌دهد (رید و همکاران، ۲۰۰۵). البته فرآیند دگرسانی در ناحیه منشأ نیز امکان تشکیل دارد که در این صورت ارتباطی با فرآیندهای دیاژنزی ندارد (برنت و بست، ۲۰۰۵). در صورتی که فلدسپات‌ها در ناحیه منشأ دگرسانی و سپس جابه‌جا شده باشند با توجه به نایابی دانه‌های فلدسپات، این دانه‌ها از بین رفتنه و یا دگرسانی به شدت پیشرفت داشته و دگرسانی کامل انجام می‌گیرد (شول، ۱۹۷۹). اما در نمونه‌های مورد بررسی وجود فلدسپات مشخص، یکنواخت بودن دگرسانی و نبود دگرسانی شدید احتمالاً نشان از دگرسانی طی دیاژنس است. دگرسانی فلدسپات‌ها بیشتر در پتروفاسیس‌های آرکوز و لیتیک آرکوز بخش قدری، به دلیل فلدسپات فراوان، دیده می‌شود. رایج‌ترین دگرسانی در دانه‌های فلدسپات دیده شده است که در نمونه‌های ماسه‌سنگی بخش قدری نسبت به کرتاسه پایینی فراوان‌تر است (شکل ۴).

۴-۴- سیمانی شدن^۵

از عوامل کنترل کننده سیمانی شدن می‌توان به ترکیب شیمیایی سنگ میزان و خلوص کانی‌شناسی اشاره کرد (وردن و بورلی، ۲۰۰۳). از مهم‌ترین سیمان‌های شناسایی شده در ماسه‌سنگ‌های توالی مورد بررسی می‌توان به سیمان کلسیتی، سیمان دولومیتی، سیمان اکسید آهن، سیمان رشد هممحور سیلیس و سیمان کانی رسی اشاره کرد.

۴-۵- سیمان کلسیتی^۶

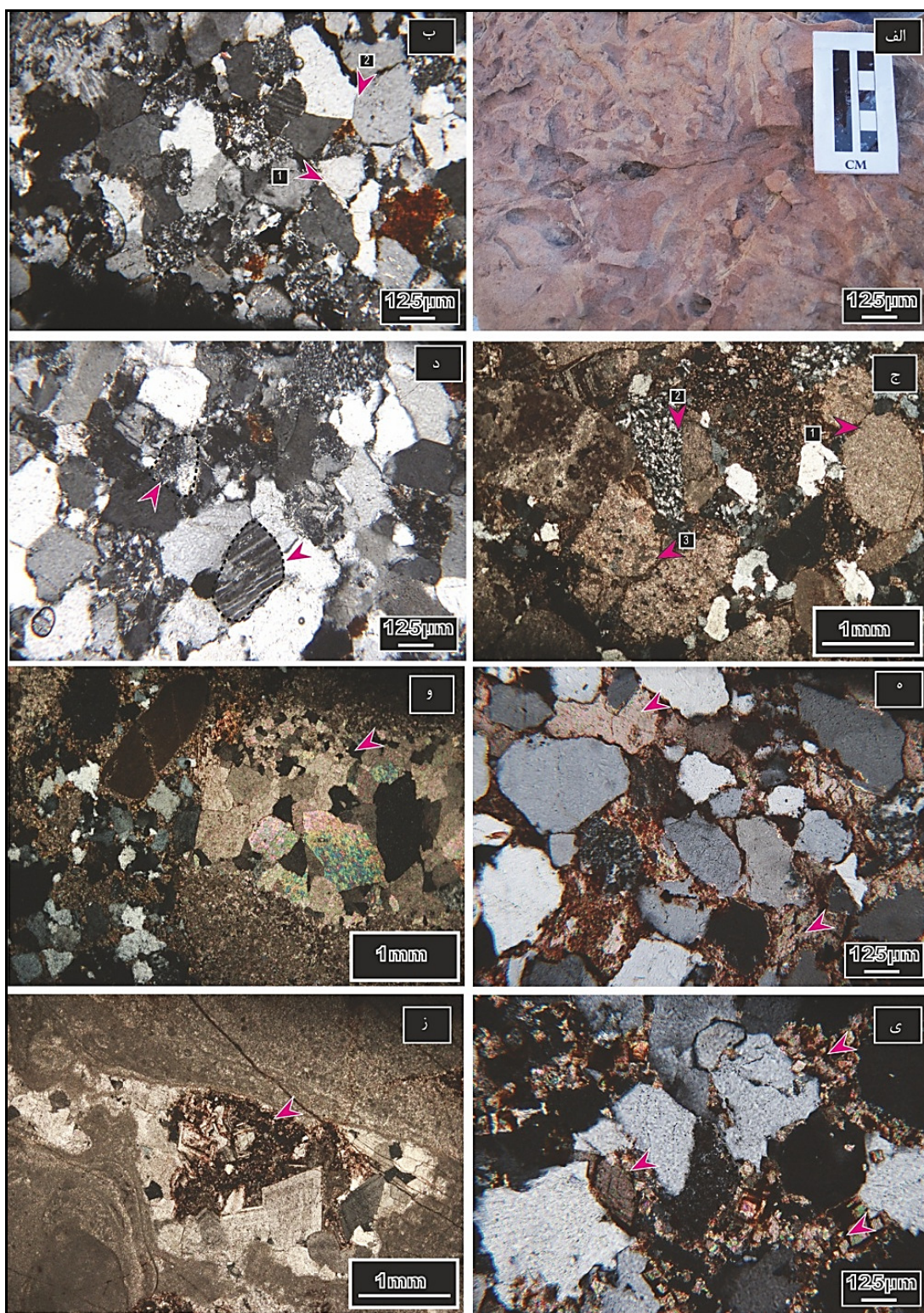
سیمان کربناته در برش‌های گوناگون شناسایی شد که از مقدار کم تا زیاد در پیرامون دانه‌ها و زمینه را شامل

³ Alteration of feldspars

⁴ Microfracture

⁵ Cementation

⁶ Calcite cement



شکل ۴. فرآیندهای دیاژنزی در ماسه‌سنگ‌های بخش قدیر و ماسه‌سنگ و کنگلومراي واحد K₁. الف: آشفتگی زیستی (نمونه B79); ب: انواع تماس نقطه‌ای (۱)، طولی (۲)، (نمونه B1); ج: انواع تماس‌ها شامل تماس نقطه‌ای (۱)، تماس طولی (۲) و تماس کاو-کوژ (۳) (نمونه B65); د: دگرسانی دانه‌های فلدسپات (با پیکان مشخص شده است) (نمونه B1); ه: سیمان کلسیتی (نمونه B73); و: سیمان کلسیت دروزی (نمونه B41); ی: سیمان دولومیتی (نمونه B64); ز: سیمان دولومیتی آهن‌دار حفره پر کن (نمونه B69).

رسی است که آهن را جذب می‌کنند، پدید می‌آیند (تاکر و رایت، ۱۹۹۰). سیمان اکسید آهن موجود در شکستگی‌ها طی تدفین شکل گرفته است، اگرچه امکان ساخت این سیمان در طی بالاًمدگی نیز وجود دارد (اینسل، ۲۰۰۰). وجود این سیمان بازتاب کننده شرایط اکسیدی می‌باشد (جیمز اسپینو و جیمز میلان، ۲۰۰۳).

۴-۲-۸- سیمان رشد هم محور سیلیس^۳

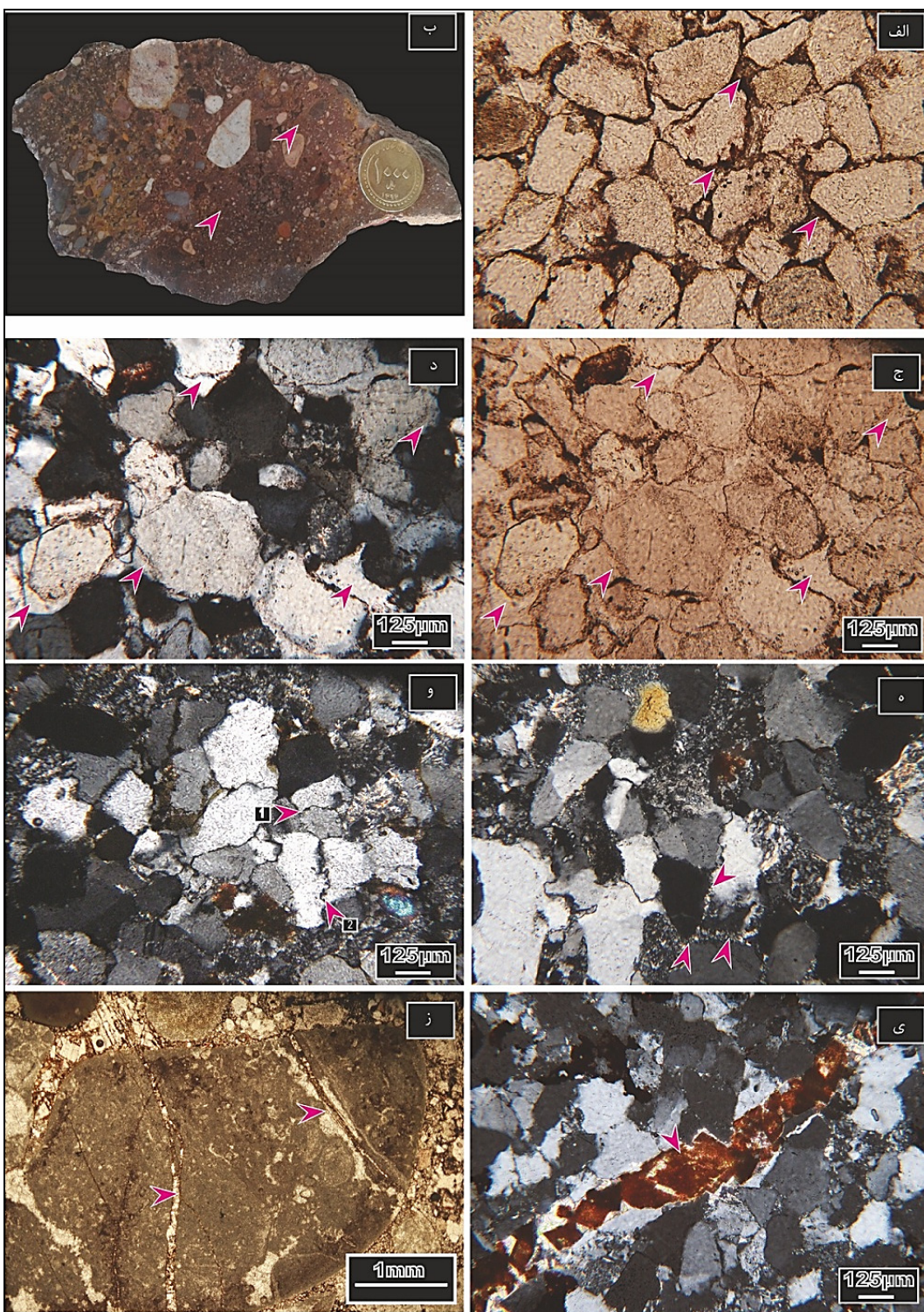
میزان سیمان رشد هم محور در ماسه‌سنگ‌های بخش قدری دارای میانگین ۱ درصد و در ماسه‌سنگ‌های کرتاسه پایینی دارای میزان ۲ درصد است (جدول ۱). سیمان رشد هم محور در پیرامون دانه‌های کوارتز دارای پیوستگی نوری با دانه‌های کوارتز بوده و توسط روكشی از اکسید آهن (حاشیه غبار آلود) از دانه‌ی اصلی جدا می‌شود (شکل ۵ ج، د). ترکیب ماسه‌سنگ، زمان اقامت در پنجره تعییرپذیری سیلیس، ترکیب سیال و میزان جریان از عوامل اصلی کنترل کننده میزان سیمان سیلیسی در ماسه‌سنگ‌ها است (مک براید، ۱۹۸۹). بنابراین فرآیند سیمانی شدن به شدت توسط نوع حوضه رسوبی که ماسه‌سنگ‌ها در آن ساخته می‌شوند کنترل می‌شود (مک براید، ۱۹۸۹). سیمان‌های سیلیسی طی دیاژنز تدفینی در دمایی بیش از ۹۰ درجه سانتی‌گراد (وردن و بورلی، ۲۰۰۳) و گاهی در دمای ۱۲۵ تا ۱۳۰ درجه سانتی‌گراد ساخته می‌شود (وبر و ریکن، ۲۰۰۵). منشأ سیلیس برای تشکیل این سیمان در توالی مورد بررسی را می‌توان به انحلال فشاری دانه‌های کوارتز، انحلال و جانشینی فلدسپات‌ها و تشکیل کانی‌های رسی نسبت داد (جینلینگ و زوجی، ۲۰۰۸). افزون بر این، تبدیل کانی‌های رسی به یکدیگر به طور بارزی سیلیس تولید می‌کند (اسمیت و همکاران، ۲۰۰۴). ماسه‌سنگ‌های کرتاسه پایینی با توجه به فراوانی پتروفاسیس‌های ساب چرت آرناتیت و ساب فیلارنایت این سیمان گسترش بیشتری دارد (شکل ۶)، و مجموعه‌های از عوامل بالا می‌توانند در تشکیل این سیمان دخیل باشد.

۷-۲-۴- سیمان اکسید آهن^۱

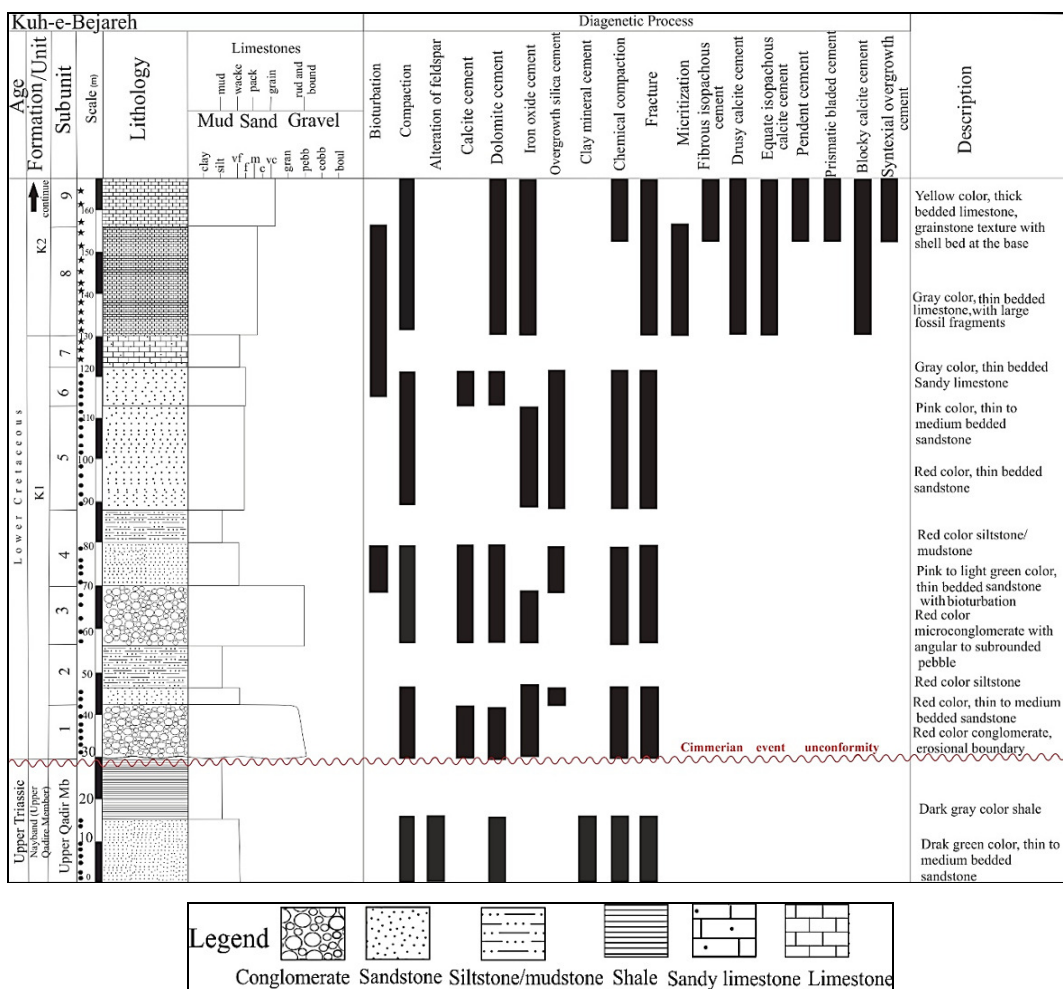
سیمان اکسید آهن از جمله سیمان‌های فراوان در سنگ‌های آواری توالی مورد بررسی بوده به طوری که به کل توالی آواری کرتاسه پایینی رنگ سرخ تیره تا روشن داده است. در نمونه‌های مورد بررسی سیمان آهن دار به دو شکل پوشاننده سطح دانه‌ها و همچنین عمدتاً پر کننده فضای بین دانه‌ها و در میان شکستگی‌ها دیده می‌شود که گاهی با سیمان رسی همراه است. اکسید آهن به طور تیپیک به فرم یک پوشش خیلی نازک در پیرامون دانه‌ها وجود دارد و گاهی این سیمان پیرامون دانه‌ها را زیر تأثیر قرار داده و رنگ سرخ به زمینه داده است (شکل ۵ الف-ب، ۶). سیمان اکسید آهن موجود در نمونه‌های مورد بررسی گاهی به صورت ترکیب با سیمان بلوری کربناته و گاهی به صورت ترکیب با ماتریکس رسی می‌باشد؛ که ترکیب با ماتریکس رسی بیشتر در نهشتلهای بخش قدیر دیده شده است (شکل ۵ و). این سیمان در بخش ماسه‌سنگ‌های بخش قدیر دارای میانگین ۷ درصد و در کرتاسه پایینی ۸ درصد است (جدول ۱). منشأ آهن می‌تواند هم به صورت دیاژنزی و هم به صورت آواری باشد. سیمان اکسید آهن که بیشتر به صورت پوشش نسبتاً پیوسته در پیرامون دانه‌ها تشکیل شده‌اند (شکل ۵ الف) از نوع سیمان هماتیتی آواری (حمل شده) است و سیمان اکسید آهن که به صورت فراغیر و پر کننده بین دانه‌ها بوده بیشتر در مراحل پایانی دیاژنز ساخته شده است (امینی، ۲۰۱۱؛ اولیواریوس و همکاران، ۲۰۱۵). سیمان اکسید آهن به طور معمول در ژرفای کم تدفین و در مناطق وادوز ساخته می‌شود، افزون بر این، طی بالاًمدگی نیز امکان ساخت این نوع سیمان وجود دارد (اینسل، ۲۰۰۰). از جمله منشأ آهن در توالی مورد بررسی، هوازدگی سنگ‌های ناحیه خاستگاه است. هوازدگی سبب آزاد شدن یون آهن و ترابری آن به محیط رسوب‌گذاری می‌شود و سپس به صورت محلول در آب میان دانه‌ای قرار گرفته و در شرایط اکسیدی به صورت سیمان اکسید آهن تهنشین می‌شود (امینی، ۲۰۱۱). همچنین یون‌های لازم برای تشکیل سیمان هماتیتی حاصل از واپاشی درون چینه‌ای سیلیکات‌های آواری و آبکافت^۲ کانی‌های

¹ Iron oxide cement

² Hydrolysis



شکل ۵. فرآیندهای دیاژنزی در ماسه‌سنگ‌های بخش قدیر و ماسه‌سنگ و کنگلومراي واحد K₁. الف: سیمان اکسید آهن آواری به صورت پوشاننده سطح دانه‌ها (نمونه B۳۶؛ تصویر PPL); ب: سیمان اکسید آهن و ماتریکس آغشته به هماتیت (نمونه B۳۳/۵؛ ج، د: سیمان رشد هم‌محور سیلیس؛ به حاشیه غبار آسود که منجر به شناسایی سیمان رشد هم‌محور می‌گردد توجه نمایید. ه: سیمان کانی رسی در فضای بین و پیرامون دانه‌های کوارتز (نمونه W؛ تماس کاو-کوز (۱) تماس مضرس و انحلال فشاری (۲)؛ فضای پر شده به رنگ قهوه‌ای در پایین تصویر سیمان اکسید آهن می‌باشد که معمولاً با سیمان کانی رسی همبستگی دارد (نمونه B1)؛ ز: شکستگی و پر شدگی توسط سیمان دولومیتی آهن‌دار (نمونه B18)؛ ز: شکستگی و پر شدگی (نمونه B56).



شکل ۶. ستون چینه‌شناسی برش مورد بررسی، تفکیک واحدهای چینه‌شناسی و سنگ‌شناسی و توزیع مهم‌ترین فرایندهای دیاژنزی در سنگ‌های آواری و کربناته در امتداد توالی (محل نمونه‌های آواری با دایره توپ و نمونه‌های کربناته با ستاره توپ نشان داده شده است).

رشد ثانویه کوارتز و سیمانی شدن کلسیتی ساخته می‌شوند. مهم‌ترین عامل تأثیرگذار در دیاژنز کانی‌های رسی افزایش فشار و دما است (لانسون و همکاران، ۲۰۰۲؛ کودرس، ۲۰۰۶؛ کیم و همکاران، ۲۰۰۷). هم‌چنین عامل زمان نقش بهسازی دارد به گونه‌ای که هر چه زمان زمین‌شناسی بیشتر شود، شرایط ساخت کانی‌هایی مانند ایلیت و کلریت فراهم می‌شود (تاکر و رایت، ۱۹۹۰).

۱۰-۲-۴- فشردگی شیمیایی^۱

فشردگی شیمیایی در توالی مورد بررسی منجر به انواع همبری‌های کاو-کوژ و ضرسی در میان دانه‌ها، به ویژه دانه‌های کوارتز شده است (شکل ۵ و). مرزهای کاو-کوژ و

۹-۲-۴- سیمان کانی رسی^۱

رس‌ها در توالی مورد بررسی در اثر واپاشی فلدسپات‌ها در پیرامون و میان دانه‌ها ساخته شده‌اند و دارای رنگ تیره و کدر و ظاهر غبارآلود هستند (شکل ۵ ه). این سیمان در ماسه‌سنگ‌های بخش قدیر ۷ درصد و در ماسه‌سنگ‌های کرتاسه پایینی نزدیک ۱ درصد است (جدول ۱). سیمان کانی رسی در توالی مورد بررسی به صورت حفره پرکن، در زمینه به صورت پراکنده و گاهی به صورت پوشش رسی همراه با اکسید آهن در برش‌های مورد بررسی وجود دارد. این سیمان بیشتر در پتروفاسیس‌های آرکوز و لیتیک آرکوز بخش قدیر دیده شد (شکل ۲). تهنشینی رس‌های حاشیه‌ای، معمولاً اولیه (آواری) بوده و یا از نخستین رخدادهای دیاژنز است. رس‌ها بیشتر پیش از

² Chemical compaction

¹ Clay mineral cement

رزیم چیره از نوع فشارشی است (اینسل، ۲۰۰۰؛ منسونبرگ و همکاران، ۲۰۰۸). روند دیاژنزی در کنگلومراها و ماسه‌سنگ‌ها، به عوامل مختلف بستگی دارد که این عوامل شامل محیط رسوب‌گذاری، ترکیب و بافت رسوب، شیمی آب درون حفره‌ها، جایگاه زمین‌ساختی حوضه، ژرفای دفن و زمان بالا آمدگی است (منسونبرگ و همکاران، ۲۰۰۸).

۴-۳-۱- مرحله ائوژنز^۵

در مرحله ائوژنز، محیط دیاژنزی دارای دمای کمتر از ۷۰ درجه سانتی‌گراد و ژرفای تدفین کمتر از ۲ کیلومتر است (مراد و همکاران، ۲۰۰۰؛ منسونبرگ و همکاران، ۲۰۰۸؛ بنابراین آب و هوا و ترکیب اجزای سازنده ماسه‌سنگ‌ها و کنگلومراها دو عامل اصلی در کارکرد فرآیندهای دیاژنزی این مرحله به شمار می‌آیند. ساخت سیمان اکسید آهن در فضای میان دانه‌ها در کنگلومراها و ماسه‌سنگ‌ها را می‌توان در این مرحله متصور شد (تاکر و رایت، ۱۹۹۰؛ رید و همکاران، ۲۰۰۵). هم بری میان دانه‌ها می‌تواند بازتابی از میزان فشردگی باشد، به گونه‌ای که هم بری نقطه‌ای و طولی در فشارهای پایین و در مراحل اولیه دیاژنز رُخ می‌دهد (مراد و همکاران، ۲۰۱۰). سیمان سیلیسی در ماسه‌سنگ‌ها در مراحل اولیه دیاژنز به مقدار اندکی ساخته می‌شود زیرا غلظت سیلیس در آب‌های جوی به مقداری نیست که سیمان سیلیسی شکل گیرد (مک براید، ۱۹۸۹). دگرسانی اولیه فلدسپات‌ها در این مرحله آغاز می‌شود و طی مزوژنز کامل می‌گردد (مراد و همکاران، ۲۰۰۰). از دیگر فرآیندهای این مرحله، پوشش نازک سیمان کانی‌های رسی به همراه اکسید آهن در پیرامون دانه‌ها می‌باشد (مراد و همکاران، ۲۰۱۰). ساخت سیمان کربناته در کنگلومراها می‌تواند مربوط به این مرحله دیاژنز باشد که بسته به ترکیب شیمیایی آب‌های میان حفره‌ای دارد (تاکر و رایت، ۱۹۹۰) و طی مراحل بعدی قابلیت گسترش بیشتر را دارد. در نتیجه فرآیندهای دیاژنزی ماسه‌سنگ‌ها در این مرحله شامل آغاز دگرسانی فلدسپات، تماس طولی و نقطه‌ای، سیمان کربناته، سیمان اکسید آهن و سیمان کانی رسی به صورت حاشیه رسی در پیرامون دانه‌ها می‌باشد. از جمله فرآیندهای دیاژنزی فراوان، سیمان کانی رسی در بخش

مضرس نشانگر انحلال فشارشی هستند که نشان‌دهنده انحلال جزئی می‌باشد (برنت و همکاران، ۲۰۰۷). این فرآیند ممکن است در ژرفای زیاد ۲/۵ تا ۳/۵ کیلومتری و در دمای ۹۰ درجه سانتی‌گراد انجام گیرد (سندریگ، ۱۹۸۳؛ مک براید، ۱۹۸۹). در کنگلومراهای توالی مورد بررسی تماس کاو-کوژ قابل مشاهده است (شکل ۴ ج). لازم به یادآوری است بخش قدری دارای فشردگی شیمیایی بیشتر نسبت به کرتاسه پایینی می‌باشد.

۴-۱-۱- شکستگی^۳

در مراحل نهایی دیاژنز به علت فعالیتهای زمین‌ساختی رسوبات ممکن است چین خورده و بالا آیند، بنابراین شکستگی‌هایی در ماسه‌سنگ‌ها شکل گرفته که بعدها توسط سایر کانی‌ها پر می‌شوند (کوک و همکاران، ۲۰۰۶). شکستگی‌ها در نمونه‌های مورد بررسی گاهی به صورت شکستگی‌های ریز و گاهی به صورت شکستگی‌های چشمگیر در کل مقطع وجود دارد؛ این شکستگی‌ها اغلب با سیمان کربناته به همراه اکسید آهن پر شده‌اند (شکل ۵ ی). حضور سیمان اکسید آهن در کنار سیمان دولومیتی نشانگر تشکیل بخشی از این سیمان در مرحله دیاژنز دفعی و یا بالا آمدگی رسوبات است (رید و همکاران، ۲۰۰۵). بلورهای خودشکل^۴ دولومیت به صورت سیمان پر کننده شکستگی‌ها ساخته شده است (شکل ۵ ی). رگه‌های پر شده توسط کلسیت نیز در مراحل نهایی دیاژنز و زمانی که به علت فرآیندهای زمین‌ساختی رسوبات چین خورده و بالا می‌آیند ساخته می‌شوند (کوک و همکاران، ۲۰۰۶). در برش‌های کنگلومراهای مورد بررسی، شکستگی‌ها توسط سیمان کلسیت آهن‌دار و بدون آهن پر شده است (شکل ۵ ز). یون کلسیم برای ساخت رگه‌ها به احتمال زیاد از انحلال سازندهای آهکی کناری که زیر تأثیر آبهای جوی قرار گرفته‌اند، تأمین شده است.

۴-۳-۲- توالی پاراژنتیکی کنگلومراها و ماسه‌سنگ‌ها رویدادهای پاراژنتیکی را می‌توان در سه مرحله ائوژنز، مزوژنز و تلوژنز تفسیر کرد. در مراحل ائوژنز و تلوژنز، رسوبات در برابر آب و هوا قرار دارند و رژیم آبی جوی نقش بهسازی در فرآیندهای دیاژنسی دارد اما در مزوژنز،

³ Fracture

⁴ Euhedral

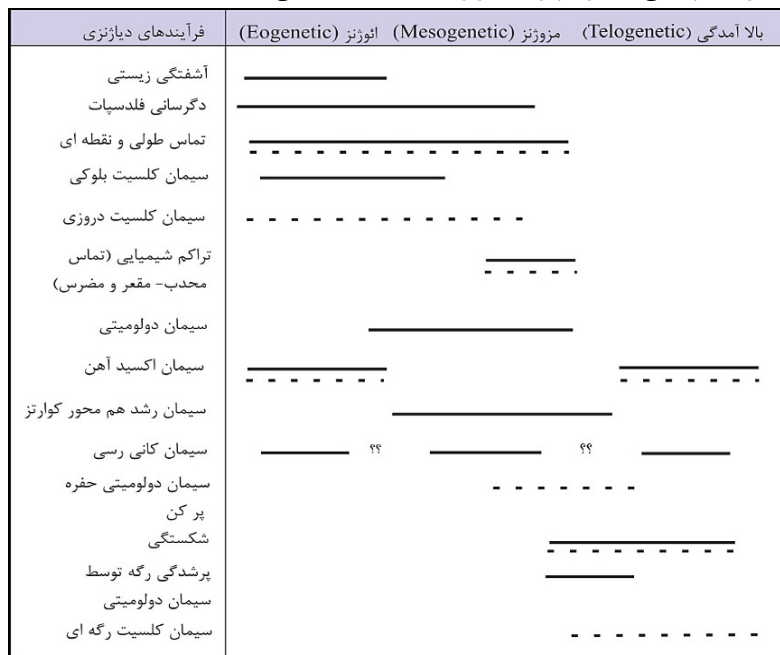
نقطه‌ای، سیمان اکسید آهن و سیمان کلسیت دروزی است (جدول ۲).

قدیر نسبت به کرتاسه پایینی است که در ارتباط با پتروفاسیس‌های شناسایی شده در بخش قدیر می‌باشد. از جمله فرآیندهای دیاژنزی کنگلومراها نیز همبری طولی و

جدول ۱. نتایج درصد فراوانی دانه‌های اصلی، فرعی، سیمان و ماتربیکس در ماسه‌سنگ‌های مورد بررسی و پارامترهای محاسبه شده به روش دیکینسون (۱۹۸۸) بر اساس دانه شماری ۳۰۰ نقطه در هر ماسه‌سنگ

Sample NO	Unit	Q%	F%	RF%	Acc%	H M%	Cem sili%	Cem car%	Cem clay%	Cem iron%	Mat%
B·	Ghadir Mb	55	16	5	1	1	0	5	7	9	1
B₁	Ghadir Mb	53	22	5	0	1	1	4	5	8	0
B₈	Ghadir Mb	52	17	7	1	1	1	5	10	7	0
B₁₈	Ghadir Mb	57	23	3	0	1	1	3	8	4	0
B₁₉	Ghadir Mb	56	22	3	0	1	1	4	7	6	0
B₂·	Ghadir Mb	59	18	3	0	1	1	4	7	8	0
B₂₃	Ghadir Mb	60	22	1	0	0	1	5	6	5	0
B₃₆	K₁	55	4	12	7	1	2	3	1	17	0
B₅₇	K₁	75	3	12	0	0	1	2	1	7	0
B₆₁	K₁	66	4	13	3	0	1	4	1	8	0
B₆₄	K₁	75	2	8	2	1	0	3	0	9	0
B₆₆	K₁	77	3	14	1	0	0	0	0	5	0
B₇₆	K₁	76	3	10	0	0	1	3	1	6	0
B₈₅	K₁	83	2	6	0	1	3	2	0	4	0
B₈₆/₅	K₁	71	0	19	0	0	2	3	0	4	0
B₁₀₆₅	K₁	87	1	7	0	0	1	1	0	4	0
B₁₀₈	K₁	68	3	7	1	0	2	3	1	15	1
B₁₁₂	K₁	70	2	5	0	0	10	0	1	11	1
B₁₁₅	K₁	76	1	8	1	1	1	3	2	9	0
B₁₁₇	K₁	71	4	6	0	0	8	1	2	7	1
B₁₁₉	K₁	76	3	7	0	0	3	1	1	7	1

جدول ۲. توالی پاراژنزی در نهشته‌های آواری بخش قدیر و واحد K₁ کرتاسه پایینی در برش مورد بررسی. (خطوط خط چین مربوط به کنگلومراها در واحد K₁ کرتاسه پایینی و خطوط پیوسته مربوط به ماسه‌سنگ‌ها می‌باشد).



سیمان کلسیت دروزی و سیمان دولومیتی حفره پرکن می‌باشد (جدول ۲). رخداد فرآیندهای مرحله مزوژنژ از جمله دگرسانی فلدسپات و سیمان کانی رسی در بخش قدیر به دلیل ترکیب ماسه‌سنگ‌های آن بوده و فراوانی سیمان رشد هم‌محور کوارتز در ماسه‌سنگ‌های کرتاسه پایینی نتیجه ترکیب سرشار از کوارتز ساب چرت‌آرنایت و ساب فیلانرنایت کرتاسه پایینی است (شکل ۲). همچنان بالاتر بودن میزان کوارتز در ماسه‌سنگ‌های کرتاسه موجب پایداری مکانیکی آن شده و در نتیجه فشردگی کمتری را نسبت به ماسه‌سنگ‌های بخش قدیر متتحمل شده‌اند.

۴-۳-۴- مرحله تلوژنژ^۲

در این مرحله سنگ‌ها در اثر فرآیندهای تکتونیکی بالا آمده و منجر به شکستگی شده و این شکستگی‌ها می‌توانند توسط کانی‌های گوناگونی پر شوند. کلسیت پرکننده شکستگی‌ها توسط آبهای درون حفره‌ای و در مراحل اولیه بالا آمدگی و یا در نزدیکی سطح زمین و زیر تأثیر آبهای جوی حاصل شده‌اند (تاکر و رایت، ۱۹۹۰). به طور کلی فرآیندهای دیاژنژی در مرحله ائوژنژ و تلوژنژ به طور مستقیم زیر تأثیر آب و هوا هستند (منسونبرگ و همکاران، ۲۰۰۸). بنابراین پیدیدآمدن ظاهر سرخ توالی آواری کرتاسه پایینی می‌تواند مربوط به مرحله تلوژنژ نیز باشد. فرآیندهای دیاژنژی مربوط به ماسه‌سنگ‌ها در این مرحله شامل سیمان اکسید آهن، سیمان رسی به صورت حاشیه‌ای، شکستگی و پرشدگی توسط سیمان کربناته و آهن دار می‌باشد. فرآیند سیمان رسی و پوشش رسی پیرامون دانه‌ها به همراه اکسید آهن در پتروفاسیس‌های بخش قدیر نسبت به کرتاسه پایینی بیشتر بوده و در نتیجه به نوع ترکیب پتروفاسیس‌های این بخش بستگی دارد. فرآیندهای مرحله تلوژنژ مربوط به کنگلومراها شامل سیمان اکسید آهن، شکستگی و سیمان کلسیت رگه‌ای می‌باشد (جدول ۲).

۴-۴- دیاژنژ سنگ‌های کربناته

فرآیندهای دیاژنژی موجود در سنگ‌های آهکی توالی واحد K2 کرتاسه پایینی شامل میکراتی شدن، آشفتگی زیستی، سیمان‌های فیبری هم‌ستبرای، کلسیت دروزی،

۴-۳-۵- مرحله مزوژنژ^۱

فرآیندهای دیاژنژی این مرحله شامل فرآیندهایی می‌باشد که در ژرفای بیشتر از ۲ کیلومتر و دمای بیشتر از ۷۰ درجه سانتی‌گراد شکل گرفته و تکامل آبهای منفذی سبب گسترش تغییرات مرحله ائوژنژی می‌شود (مراد و همکاران، ۲۰۰۰). در اثر برهمکنش آب و رسوب، سیال‌های منفذی قدرت انحلال بیشتری پیدا می‌کنند. افرون بر این، اضافه شدن یون‌هایی از سازندهای کناری، این انحلال‌پذیری را زیر تأثیر قرار می‌دهد (وردن و مراد، ۲۰۰۰). در این مرحله، آب میان حفره‌ای به علت انحلال فشاری و دگرسانی دانه‌های ناپایدار از نمک‌ها به دست آمده سرشار شده و سیمان‌هایی همچون سیمان سیلیسی و دولومیتی در نهشتلهای مورد بررسی پدید آمده است. البته لازم به یادآوری است سیمان کربناته در مراحل اولیه دیاژنژ نیز قابل تشکیل است (مراد و همکاران، ۲۰۱۰). انحلال فشاری سبب تشکیل همبrij کاو-کوژ در بین دانه‌ها گردیده است (مک براید، ۱۹۸۹). غلظت سیلیس در آبهای میان حفره‌ای در این مرحله بالا رفته و سیمان سیلیسی ساخته می‌شود (رید و همکاران، ۲۰۰۵؛ مراد و همکاران، ۲۰۱۰). ساخت سیمان دولومیتی در طی دیاژنژ دفنی و هنگامی که آبهای درون سازندی از نظر شیمیایی دارای Eh پایین هستند، وجود دارد (رید و همکاران، ۲۰۰۵). تشکیل دولومیت مربوط به مراحل تدفین زیاد است به گونه‌ای که از طریق آبهای منفذی و نیز جانشینی در کلسیت و دولومیت‌های آهن‌دار و بدون آهن مرحله ائوژنژ به وجود می‌آیند (منسونبرگ و همکاران، ۲۰۰۸). واپاشی و دگرسانی فلدسپارها در این مرحله صورت می‌گیرد به گونه‌ای که این کانی‌ها در مجاورت با آبهای فشردگی دچار دگرسانی و انحلال می‌شوند و انواع محصولات مانند آلبیت و کانی‌های رسی را پدید می‌آورند (الرمادن و همکاران، ۲۰۰۴؛ رید و همکاران، ۲۰۰۵؛ کیم و همکاران، ۲۰۰۷). از جمله فرآیندهای دیاژنژی ماسه‌سنگ‌ها در این مرحله دگرسانی فلدسپات، فشردگی شیمیایی، سیمان کربناته، سیمان دولومیتی، سیمان رشد هم‌محور کوارتز، سیمان کانی رسی بوده است. همچنان فرآیندهای موجود در کنگلومراها شامل همبrij طولی و نقطه‌ای، فشردگی شیمیایی (تماس کاو-کوژ و مضرس)،

² Telogenesis Stage

¹ Mesogenesis Stage

^۵۱-۴-۴- میکرایتی شدن^۶

در بررسی‌های انجام شده فرآیند میکرایتی شدن بیشتر در خرده‌های اسکلتی دیده شد (شکل ۷ الف). میکرایتی شدن فرآیندی است که طی آن، دانه‌ها کربناتی توسط بلورهای پنهان‌بلور^۷ کربناته یا میکرایت جایگزین می‌شود (سمان کاسو و همکاران، ۲۰۰۵). این فرآیند از فرآیندهای مهم نوریختی دریایی بوده که از نوع نوریختی کاهشی^۸ است. این نوع دگرسانی از پیرامون دانه آغاز و به سوی مرکز ادامه می‌یابد (رحیم‌پور بناب، ۱۳۸۹). فرآیند میکرایتی شدن در محیط‌های کم انرژی ایجاد می‌شود (بیت راست، ۱۹۸۵؛ شول و اولمر شول ۲۰۰۶). بیشترین میزان میکرایتی شدن در محیط فوتیک (تا ژرفای بیشینه ۷۰ متر) روی می‌دهد (رحیم‌پور بناب، ۱۳۸۹)، طی این فرآیند دانه‌های کربناته به صورت بخشی یا کامل به میکرایت همگن تبدیل می‌شوند.

^۸۴-۲- آشفتگی زیستی^۹

موجودات زنده مانند کرم‌ها و سخت‌پوستان با حفر بسترها رسوی باعث به هم ریختگی در رسوبات می‌شوند و ممکن است ساختمان‌های رسوی اولیه را به طور کامل از بین ببرند. این کار توسط موجودات زنده در محیط‌های دریایی و غیر دریایی اتفاق می‌افتد. همواره حفرات ایجاد شده بدین روش در مراحل بعدی توسط رسوباتی با اندازه متفاوت با رسوبات پیرامون خود پر می‌شوند (تاكرو رایت، ۱۹۸۹). این حالت در بُرش‌های نازک به صورت تناوب نامنظم و به هم ریخته رسوبات شناخته شده که در مراحل اولیه دیاژنز و در محیط دریایی رخ می‌دهد (شکل ۷ ب).

^۹۳-۴-۴- سیمان فیبری هم‌ستبرای

سیمان فیبری نسل اول اندکی بعد از رسوب‌گذاری آغاز می‌شود. این سیمان به صورت پوشش نازک فیبری در پیرامون دانه‌ها ساخته شده است (شکل ۷ ج، د). این فرآیند در رخساره‌های پر انرژی محیط سد یا شول در توالی مورد بررسی شناسایی شد. سیمان نسل اول دور دانه که در محیط دریایی اولیه ساخته می‌شود بیشتر

کلسیت هم‌بعد، هم‌ستبرای، آویزهای، تیغه‌ای منشوری، بلوكی، رورشدی هم‌محور، اکسید آهن، دولومیتی، فشردگی و شکستگی می‌باشد. از مهم‌ترین فرآیندهای دیاژنزی کربنات‌ها سیمانی شدن است. به طور کلی هر یک از سیمان‌ها نشانگر محیط دیاژنسی ویژه‌ای هستند و از نظر محیط ساخت در محدوده‌های دریایی، جوی و تدفینی قرار می‌گیرند.

برای بررسی بیشتر نسل‌های مختلف سیمان بررسی‌های کاتدولومینسانس نیز انجام گرفته است.لومینسانس در سنگ به حضور عناصر فعال‌کننده^{۱۰} و عناصر بازدارنده^{۱۱} بستگی دارد. برخی از پژوهشگران بر این باورند که کاتدولومینسانس در کربنات‌ها بیشتر بستگی به تعییرات شیمی عناصر فرعی به ویژه Mn²⁺ (مهمنترین فعال‌کننده) و Fe²⁺ (مهمنترین بازدارنده) دارد (مارشال، ۱۹۹۸؛ ماشل، ۲۰۰۰). معمول‌ترین رنگ‌های کلسیت در زیر نور لومینسانس نارنجی مایل به زرد، زرد مایل به نارنجی و نارنجی است (مارشال، ۱۹۹۸). دولومیت نیز در زیر نور لومینسانس می‌تواند رنگ‌های قرمز یا زرد نشان دهد. البته باید به این نکته اشاره کرد که رنگ لومینسانس دولومیت‌ها ممکن است به دلیل شرایط محیطی باشد. سیمان‌های دریایی بیشتر تمایل به ساخت شکل‌های سوزنی و رشتۀای دارند و در زیر میکروسکوپ بدون هر گونه لومینسانسی هستند (مجور، ۱۹۹۱؛ ماشل، ۲۰۰۰). البته سیمان‌های دریایی اولیه ممکن است دارای لومینسانس کدر و مات باشند (باگز و کرینسلی، ۲۰۰۶). سیمان‌های ساخته شده در این محیط می‌تواند شکل‌های بلوكی هم‌ستبرای یا هم‌بعد تشکیل دهند و احتمالاً دارای مقدار بالاتری از یون منگنز دو ظرفیتی هستند؛ در نتیجه در زیر لومینسانس به رنگ روشن دیده می‌شوند. با ادامه تدفین و وارد شدن رسوبات به محیط‌های دیاژنسی تدفین ژرف، سیمان‌های ساخته شده درشت‌بلور می‌شوند. در چنین محیط‌هایی شرایط کاهش (احیا) چیره است اما بودن یون آهن به عنوان بازدارنده در چنین شرایطی سبب ایجاد لومینسانس تیره می‌گردد (باگز و کرینسلی، ۲۰۰۶).

⁵ Micritization

⁶ Cryptocrystalline

⁷ Degradation Neomorphism

⁸ Bioturbation

⁹ Fibrous isopachous cement

³ Activators

⁴ Quenchers

به سوی آهن زیاد می‌باشد و پس از رسیدن به زمینه به رنگ تیره بدون لومینسانس تبدیل می‌شود که نشانگر شرایط افزایش آهن و تدفین است (شکل ۸ الف، ب). بخش‌های روشن سیمان مربوط به محیط دیاژنر فریاتیک و بخش‌های تیره‌تر مربوط به محیط دیاژنر جوی می‌باشد؛ زیرا به طور کلی مرحله دیاژنر جوی در محدوده وادوز دارای رنگ لومینسانس تیره و در محدوده فریاتیک دارای لومینسانس روشن است (باگز و کرینسلی، ۲۰۰۶). بنابراین در نمونه مورد بررسی سیمان هم‌بعد مربوط به منطقه متئوریک بوده و به سوی بیرون دارای رنگ تیره‌تر می‌باشد (مربوط به تغییرات میزان آهن و منگنز بخش متئوریک) و سپس در زمینه سیمان بلوکی (در ادامه گفته خواهد شد) بدون لومینسانس محیط دفنی قرار گرفته است.

۴-۶-۴- سیمان آویزهای^{۱۲}

این سیمان به صورت ثقلی در زیر قطعات اکینودرم به صورت سیمان رشد هم‌محور آویزهای تشکیل شده است (شکل ۸ ج). اນباشت این سیمان بیشتر در بخش پایین دانه‌ها بیشتر از سایر بخش‌ها می‌باشد و حالت آویزهای همراه با زون بندی تیره و روشن دارد (شکل ۸، د، ۵). این سیمان از جمله سیمان‌های منطقه‌ی متئوریک بوده که به دلیل موقعیت بودن جریان آب در این منطقه سیمان‌ها به صورت پراکنده و نامنظم ساخته شده است (رحیم‌پور بناب، ۱۳۸۹). سیمان‌های زون هادار مربوط به محیط وادوز به دلیل وجود شرایط اکسیدی دارای لومینسانس تیره و همانند سیمان‌های دریابی می‌باشند (باگز و کرینسلی، ۲۰۰۶). گاهی سیمان محیط فریاتیک دارای لومینسانس روشن و درخشان است (باگز و کرینسلی، ۲۰۰۶). بررسی‌های لومینسانس بر روی این نوع سیمان نشانگر ساخت سه بخش با لومینسانس متفاوت می‌باشد (شکل ۸ ی)، زون اول با لومینسانس روشن وابسته به منطقه فریاتیک و زون دوم وابسته به منطقه وادوز است. زون‌های اشاره شده به دلیل تغییر در میزان آهن و منگنز دارای حالت روشن و تیره می‌باشند. پس از این دو بخش، سیمان بلوکی تدفین ژرف قرار گرفته که بدون لومینسانس است.

تیره و مهآلود است و بسته به عناصر سازنده بدون لومینسانس هم می‌تواند باشد (باگز و کرینسلی، ۲۰۰۶). سیمان نسل اول دریابی در نهشته‌های مورد بررسی دارای لومینسانس تیره و کدر می‌باشد که دور تا دور دانه را فراگرفته و ستبرای کمی دارد (شکل ۷ الف، ب) (بریگود و همکاران، ۲۰۰۹). لومینسانس تیره نشانگر میزان بالای یون بازدارنده آهن نسبت به منگنز می‌باشد (باگز و کرینسلی، ۲۰۰۶). و با توجه به ساخت این سیمان در محیط دریابی و میزان بالای آهن در این شرایط، تیره بودن لومینسانس سیمان اشاره شده به خوبی توجیه پذیر است.

۴-۴-۴- سیمان کلسیت دروزی^{۱۰}

این سیمان به صورت حفره پرکن در فضای حفرات ساخته شده است (شکل ۷ ه). در این نوع سیمان اندازه بلورها به سوی مرکز حفره بزرگ‌تر می‌شود. این فایبریک به علت رشد سریع‌تر در راستای محور C بلورشناسی و رقابت میان بلورهای کناری ساخته می‌شود (شول و اوامر شول، ۲۰۰۶). هنگام رشد بلورها بر روی دیواره حفره‌ها، بلورهایی که محور C آن‌ها به حالت عمود بر جداره‌ی دیواره نزدیک‌تر است، سریع‌تر رشد کرده و بزرگ‌تر می‌شوند (رحیم‌پور بناب، ۱۳۸۹). این سیمان بیشتر در محیط دیاژنر هوایی ساخته می‌شود (صالحی و همکاران، ۱۳۸۹).

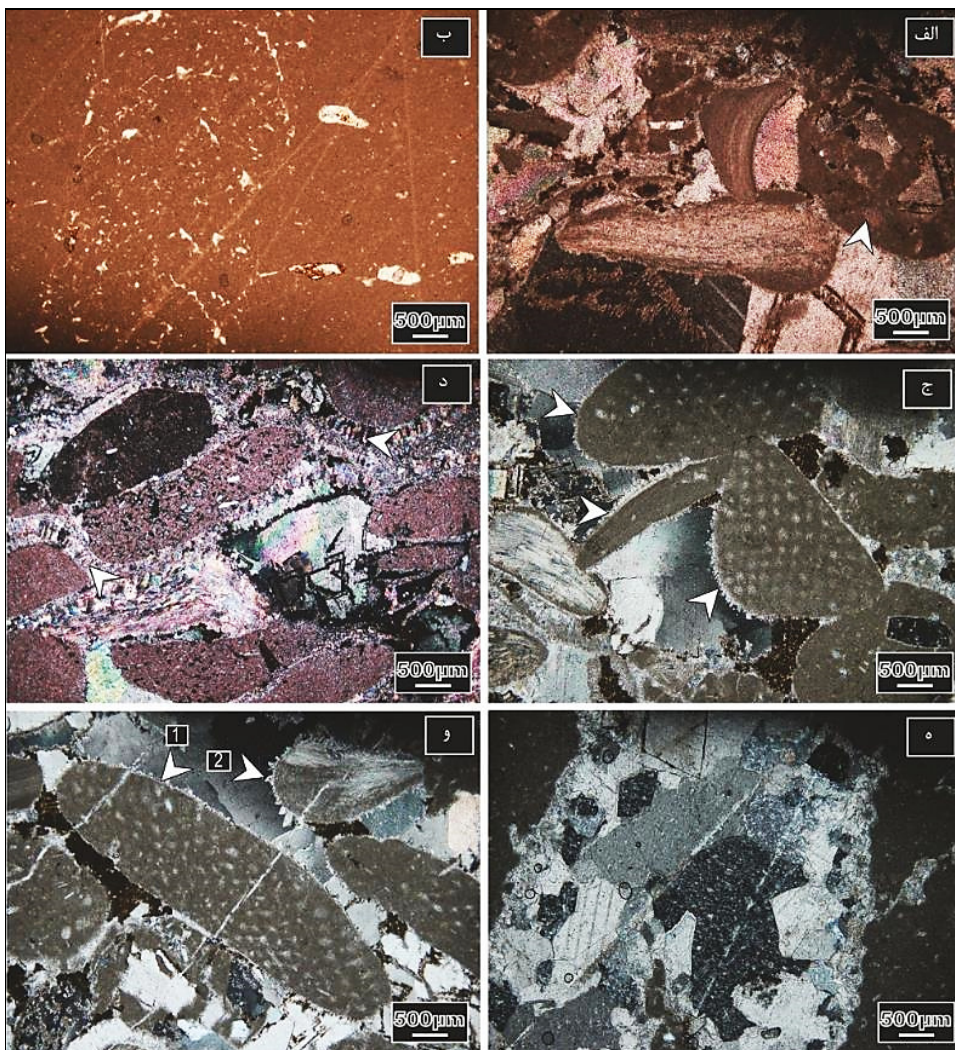
۴-۴-۵- سیمان کلسیت هم بعد هم‌ستبرای^{۱۱}

این سیمان به شکل بلورهای دارای نسبت درازا به پهنه‌ای برابر و انتهای هرمی شکل هستند (فلوگل، ۲۰۱۰). در محیط‌هایی که هسته‌های زیادی وجود دارند رشد بر روی شمار زیادی از این هسته‌ها انجام می‌گیرد و شانس کافی برای رشد زیاد هر تک بلور وجود ندارد و بلورهای حاصله کوچک خواهد بود (رحیم‌پور بناب، ۱۳۸۹). این سیمان در محیط دیاژنر فریاتیک دریابی به ویژه در بخش‌های کم ژرف‌ای دریا و هم‌چنین در محیط وادوز دریابی ساخته می‌شود (فلوگل، ۲۰۱۰) (شکل ۷ و). این سیمان در زیر نور کاتدولومینسانس از کاتون به سوی بیرون دارای لومینسانس تیره است که نشانگر تغییرات از منگنز زیاد

¹² Pendent cement

¹⁰ Drusy calcite cement

¹¹ Equate isopachous calcite cement



شکل ۷. فرآیندهای دیاژنزی کربنات‌های واحد K_2 کرتاسه پایینی. الف: میکراتی شدن (نمونه B152); ب: آشفتگی زیستی (نمونه B152); ج، د: سیمان فیبری هم ستبرای (نمونه B152); ه: سیمان کلسیت دروزی (نمونه ۱) و سیمان کلسیت (نمونه ۲) هم بعد هم ستبرای (نمونه ۲) (B152)

۴-۴-۸- سیمان کلسیتی بلوکی^۲

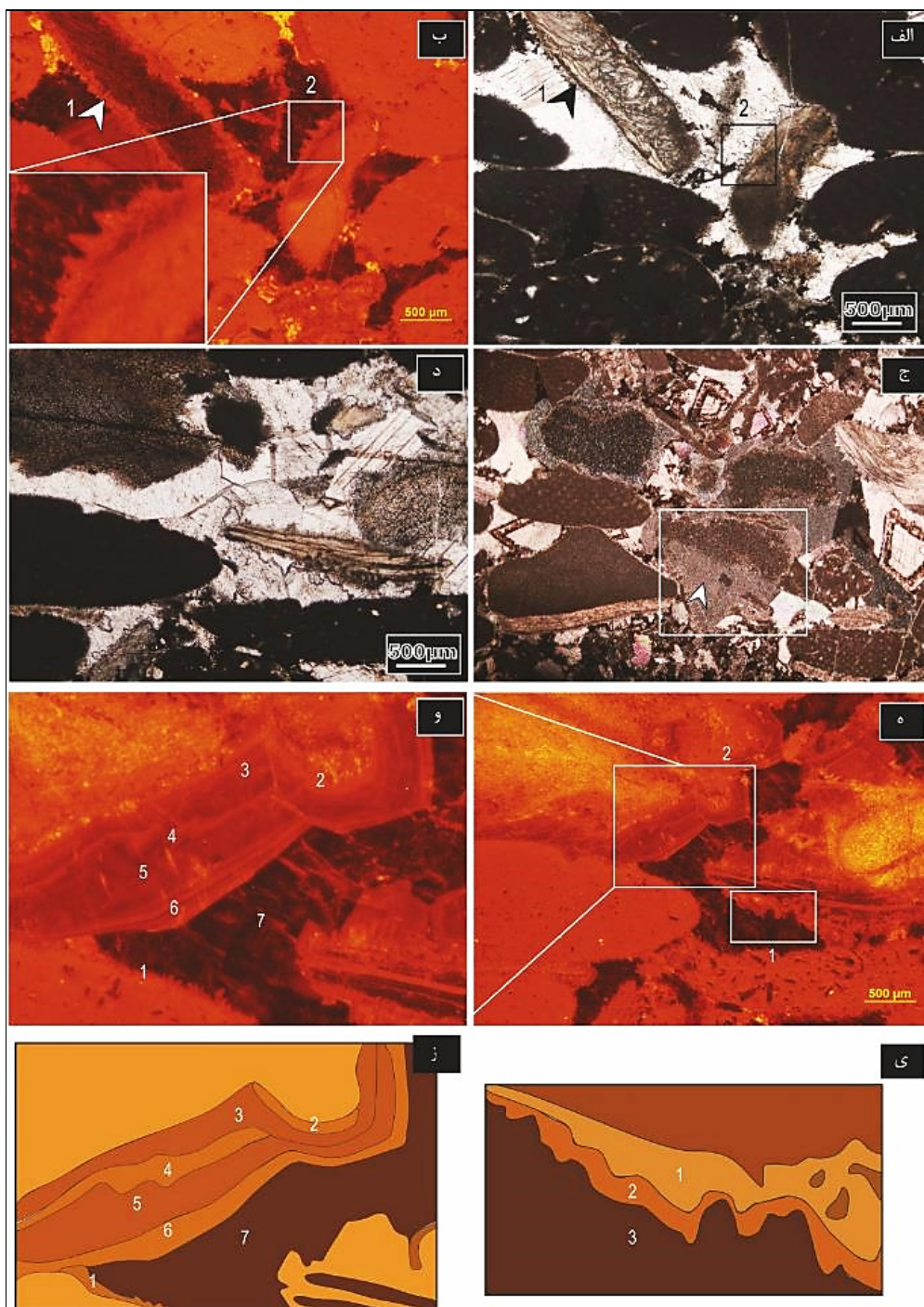
سیمان بلوکی در تصاویر ۷-۵-ز در زمینه پیرامون دانه‌ها قابل دیدن است. این سیمان دارای رنگ شفاف و به صورت بلورهای درشت و بزرگ میان دانه‌ها است. سیمان بلوکی مربوط به محیط دیاژنزی وادوز، فریاتیک و یا دفنی است (تاکر و رایت، ۱۹۸۰). در بُرش‌های مورد بررسی، زمینه بدون لومینسانس مربوط به سیمان بلوکی می‌باشد (شکل ۹ ب). این سیمان وابسته به محیط دفنی است که بلور دارای مقادیر آهن بالا در این شرایط است (باگز و کرینسلی، ۲۰۰۶؛ بریگود و همکاران، ۲۰۰۹).

۴-۴-۷- سیمان تیغه‌ای منشوری^۱

این سیمان دارای رشد موادی نسبت به محور C و عمود بر سطح یا دیواره دانه‌ها ساخته می‌شود و دارای ترکیب کانی‌شناسی آراغونیتی یا HMC است. این سیمان بیشتر در محیط تدفین کم ژرفای و در مراحل اولیه دیاژنز تدفینی ساخته شده است (شول و اولمر شول، ۲۰۰۶). این سیمان از بلورهای دراز با انتهای اسکالاتوئدال (مثلثی) ساخته شده که عموماً بر روی دانه‌ها و یا بر روی سیمان‌های نسل پیش رشد می‌کنند (رحیم‌پور بناب، ۱۳۸۹)، (شکل ۹ الف).

² Blocky calcite cement

¹ Prismatic bladed cement



شکل ۸. فرآیندهای دیاژنزی کربنات‌های واحد K₂ کرتاسه پایینی. الف، ب: سیمان کلسیتی فیبری نسل اول (۱) و سیمان کلسیت هم بعد هم‌ستبرای (۲) (نمونه b152)، تصویر سمت راست در نور پلاریزه و تصاویر سمت چپ در نور کاتدولومینسانس است. ج: سیمان آویزه‌ای رشد هم‌محور؛ د، ه: سیمان آویزه‌ای (۱) و سیمان رشد هم‌محور (۲)، تصویر سمت چپ در نور پلاریزه و تصاویر سمت راست در نور کاتدولومینسانس است (نمونه b152 b)؛ و: نمای بزرگ‌تر (کادر ۲) در تصویر (۵) و مراحل مختلف فرآیندهای دیاژنزی که در تصویر (ز) تفسیر شده است؛ ی: زون‌بندی سیمان آویزه‌ای کادر ۱ در تصویر (۵) زون ۱ و ۲ مربوط به سیمان آویزه‌ای منطقه متئوریک بوده و زون ۳ مربوط به سیمان بلوکی تدبین ژرف می‌باشد، ز: زون‌بندی سیمان رشد هم‌محور اکینوئید در کادر ۲ از تصویر (۵)؛ زون ۱: سیمان سوزنی نسل اول دریابی، ۲-۶ مرحله زون‌بندی رشد هم‌محور اکینوئید، زون ۷: سیمان کلسیت بلوکی مرحله دفن ژرف

سیمان بیشتر آهن دار بوده و مشخصه‌ی مهم آن داشتن بلورهایی بزرگ با سطح بلورین و رخهای انحنادار است (رحیمپور بناب، ۱۳۸۹). چند عامل ته نشت دولومیت را کنترل می‌کنند که از میان آن‌ها دما، اتحلال، ترکیب و انباست مواد، میزان تبلور یافته‌گی و حضور و تمرکز ترکیبات آلی ویژه دارای اهمیت است (رحیمپور بناب، ۱۳۸۹). در طی کانی‌سازی دولومیت بر پایه زمان، دما و میزان سیالات دولومیتساز، طیف وسیعی از انواع دولومیت ساخته می‌شود (مراد، ۱۹۹۸). در نمونه مورد بررسی سیمان دولومیتی در زیر نور لومینسانس به خوبی بخش‌بندی نشان می‌دهد (شکل ۱۰ ب). دولومیتها با افزایش ژرفای و تبلور مجدد دارای لومینسانس روشن می‌گردد که البته بستگی به میزان عناصر فعال کننده و بازدارنده در محیط ساخت دارد (باگر و کرینسلی، ۲۰۰۶). بررسی سیمان دولومیتی در زیر نور کاتدولومینسانس نشانگر سه بخش می‌باشد (شکل ۱۰ ب). بخش نخست هسته‌های تیره رنگ حاصل جانشینی دولومیت از آبهای دریایی میان منفذی را نشان می‌دهد (بریگود، ۲۰۰۹). سپس بخش دوم رشد یک مرحله سیمان دولومیتی می‌باشد که با توجه به لومینسانس نیمه روشن در طی افزایش ژرفای تدفین شکل گرفته است. ساخت بخش سوم با لومینسانس روشن در طی دفن ژرف بوده و پس از آن سیمان بلوكی تدفین ژرف رشد یافته است (شکل ۱۰ ج).

۴-۱۲-۴- فشردگی^۴

در نمونه‌های مورد بررسی در اثر فشردگی فیزیکی مرزهای نقطه‌ای و آرایش فشردگی دانه‌ها پیدید آمده است، سپس در اثر افزایش فشردگی منجر به اتحلال فشاری و تماس کاو-کوز میان دانه‌ها شده است (شکل ۸ و). از عوارض فشردگی و فشردگی، مرزهای بین دانه‌ای کاو-کوز و انحنادار است (رحیمپور بناب، ۱۳۸۹).

۴-۱۳-۴- شکستگی^۵

در بُرش‌های مورد بررسی، شکستگی‌ها به صورت رگه از میان دانه‌ها گذر می‌کنند و در طی تدفین آغار می‌شوند و بیشتر خاستگاه تکتونیکی دارند (محبوبی و همکاران، ۱۳۸۷). این رگه‌ها بیشتر توسط سیمان کلسیتی پر

۴-۹-۴- سیمان رورشده هم محور^۱

این سیمان در نمونه‌های مورد بررسی با توجه به فراوانی قطعات اسکلتی مانند اکینوئیدها به فراوانی یافت می‌شود (شکل ۸، ز و ۹، ج، د). این سیمان به طور معمول دارای ترکیب کانی‌شناسی HMC و دارای پیوستگی نوری با دانه‌ها دربرگیرنده است، به گونه‌ای که حتی خطوط کلیواژ و ماکل در سیمان نیز دیده می‌شود (فلوگل، ۲۰۱۰). سیمان‌های رورشده بیشتر دارای منطقه‌بندی هستند. شناسایی محیط دقیق این سیمان‌ها آسان نیست زیرا این سیمان می‌تواند در محیط‌های دیاژنزی مختلف از محیط‌های دریایی تا تدفین ساخته شود. سیمان هم محور به طور عمده روشن بوده و می‌تواند در محیط دیاژنسی‌ها و دفنی نهشته شود (رحیمپور بناب، ۱۳۸۹؛ شول و اولمر شول، ۲۰۰۶). سیمان رشد هم محور در اکینوئیدها بسته به میزان یون‌های موجود در محیط ساخت دارای لومینسانس روشن، نیمه تیره، تیره و یا حتی بدون لومینسانس است (باگر و کرینسلی، ۲۰۰۶). سیمان رشد هم محور در نمونه‌های بررسی شده دارای زون‌بندی‌های روشن و تیره متفاوت است (شکل ۸ و). بازسازی بخش‌بندی‌های سیمان رشد هم محور نشانگر وجود پنج بخش رشد مختلف بوده که نشانگر تغییرات میزان آهن و منگنز است (شکل ۸ ز). با توجه به بخش‌بندی‌های گوناگون در این سیمان، ساخت سیمان رشد هم محور در محیط دیاژنسی تدفینی رخ داده است. سیمان رشد هم محور گاهی در اثر رشد بلورها، در هم قفل شده‌اند (شکل ۹ ج، د).

۴-۱۰-۴- سیمان اکسید آهن^۲

سیمان اکسید آهن در ژرفای کم تدفین و در مناطق فریاتیک هم‌چنین در طی بالا آمدگی ساخته می‌شود (اینسل، ۲۰۰۰). سیمان اکسید آهن به صورت پراکنده در پیرامون برخی از خردمهای اسکلتی، در حفرات کوچک وجود دارد (شکل ۹ ه).

۴-۱۱-۴- سیمان دولومیتی^۳

دولومیت‌های مورد بررسی دارای هسته روشن و کناره تیره همراه با اکسید آهن می‌باشند (شکل ۱۰ الف). این

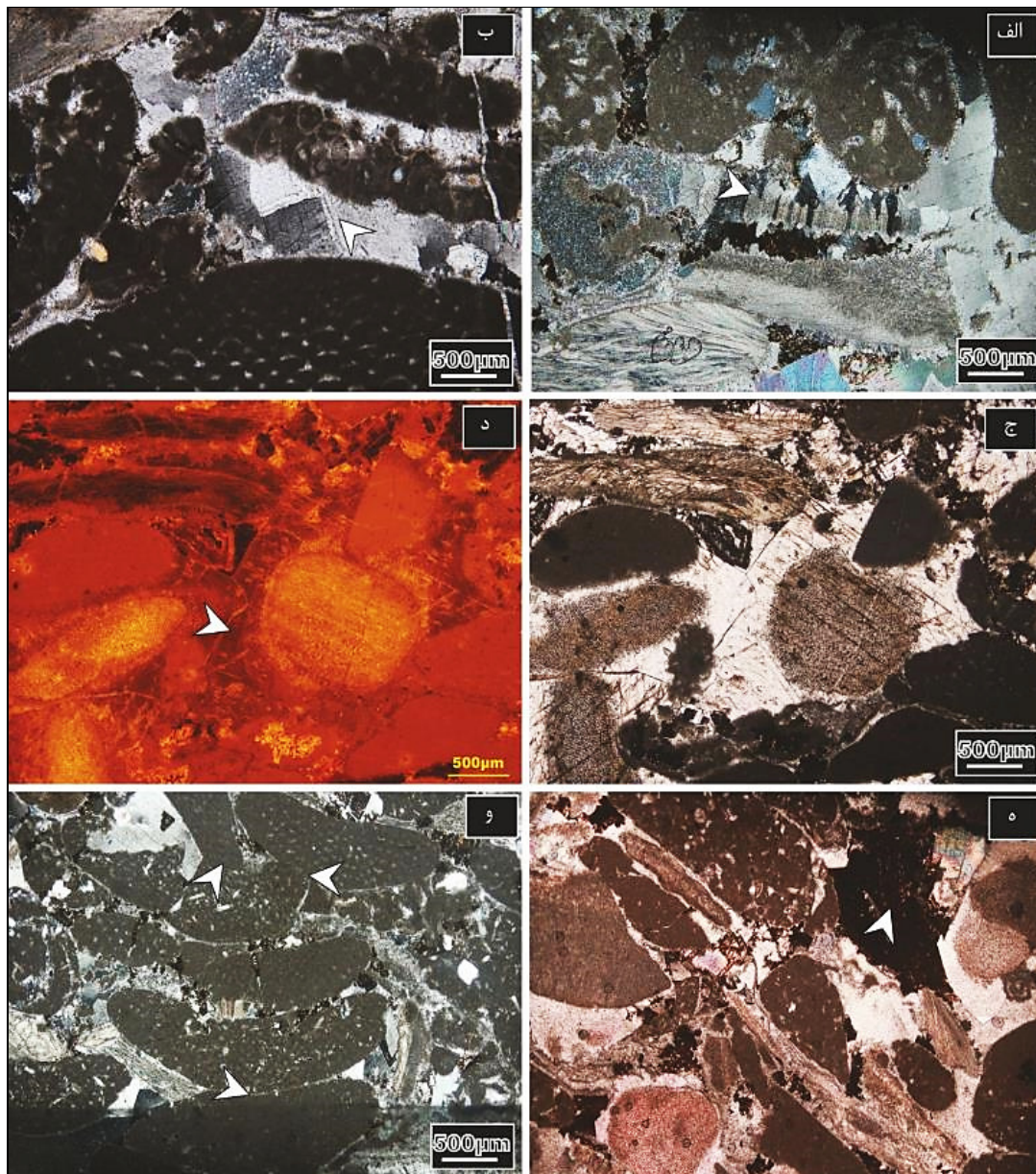
¹ Syntexial overgrowth cement

² Iron oxide cement

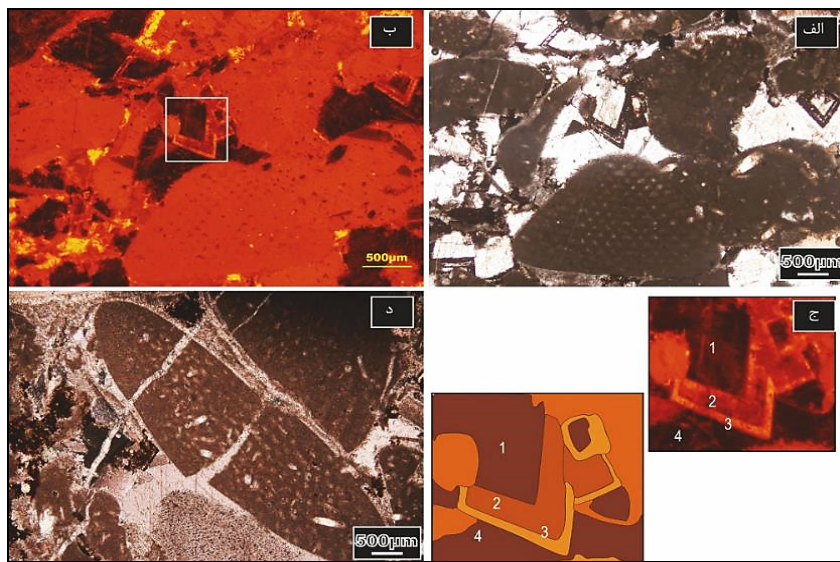
³ Dolomite cement

دلیل اصلی ساخت بلورهای کلسیتی در این شرایط به احتمالناشی از دست دادن گاز CO_2 بوده است (محبوبی و همکاران، ۱۳۸۷).

شده‌اند (شکل ۱۰ د). شواهد ساخت رگه‌های مختلف کلسیتی در سنگ‌های آهکی دیده می‌شود. رگه‌های کلسیتی در مراحل اولیه بالا آمدگی و در زمانی که رسوبات زیر فشار لایه‌های بالایی بوداند پدید آمده‌اند که



شکل ۹. فرآیندهای دیاژنزی کربنات‌های واحد K_2K کرتاسه پایینی. الف: سیمان تیغه‌ای-منشوری (پیکان سفید) (نمونه B152)، ب: سیمان کلسیت بلوکی که با پیکان نشان داده شده است (نمونه B152)، ج، د: سیمان رشد هم محور و رشد این سیمان در کنار یکدیگر و حالت قفل‌شدنگی بلورهای سیمان با پیکان نشان داده است. تصویر سمت راست در نور پلاریزه و تصویر سمت چپ در نور کاندولومینسانس می‌باشد (نمونه b B152)؛ ه: سیمان اکسید آهن با پیکان مشخص شده است (نمونه B152)؛ و: فشردگی و ایجاد تماس کاو-کوژ (نمونه B152)



شکل ۱۰. فرآیندهای دیاژنزی کربنات‌های واحد K_2 کرتاسه پایینی. الف، ب: سیمان دولومیتی پر کننده فضای میان دانه‌ها (نمونه B152b): تصویر سمت راست در نور پلازیزه و تصاویر سمت چپ در نور کاتدولومینسانس است؛ ج: نمای بزرگ‌تر در کادر مشخص شده در تصویر (ب) و نمایش زون‌بندی‌های سیمان دولومیتی، ۱: تشکیل دولومیت طی مراحل اولیه تدفین، ۲-۳: ایجاد زون‌بندی طی پیشرفت و افزایش ژرفای تدفین، زون ۴: سیمان کلسیت بلوکی مرحله تدفین ژرف؛ د: شکستگی و برشدگی با سیمان کربناته (نمونه B152)

مرحله در نمونه‌های مورد بررسی شامل میکرایتی شدن، آشفتگی زیستی، سیمان فیبری نسل اول و سیمان سوزنی هم ستبرای می‌باشد (جدول ۳).

۴-۵-۴- دیاژنز جوی^۸

از جمله فرآیندهای محیط دیاژنز جوی، انحلال و شکستگی‌های ناشی از آن، سیمان آویزهای سیمان‌هایی با سطح هلالی در سطح تماس میان دانه‌ها، بلورهای جاروبی^۹، رشته‌های کلسیتی شده می‌باشد (شول و اولمر شول، ۲۰۰۶). سایر فرآیندها مانند سیمان رشد هم‌محور، سیمان‌های بلوکی و دروزی، و سیمان‌های هم بعد پیرامون دانه‌ها و دولومیتی شدن نیز می‌تواند در این مرحله ساخته شود و یا از مراحل نخستین دیاژنز به این مرحله راه یافته و تکمیل گردد (تاکر و رایت، ۱۹۹۰؛ رحیم‌پور بناب، ۱۳۸۹؛ شول و اولمر شول، ۲۰۰۶). نیاز به یادآوری است فرآیندهای دیاژنزی جوی و تدفینی بسیار شبیه به هم است (ملیم، ۲۰۰۲). از جمله فرآیندهای این مرحله در نمونه‌های مورد بررسی سیمان آویزهای سیمان کلسیت دروزی، سیمان کلسیت دندانه‌ای و سیمان اکسید آهن می‌باشد (جدول ۳).

۴-۵-۵- توالی پاراژنزی سنگ‌های کربناته

رویدادهای پاراژنزی سنگ‌های کربناته را می‌توان طی سه مرحله دیاژنز دریایی^۱، جوی^۲ و تدفینی^۳ تفسیر کرد. محیط جوی به دو بخش اصلی منطقه وادوز (منطقه هوادار)^۴ و منطقه اشباع (منطقه فریاتیک)^۵ تقسیم می‌شود. بسیاری از نهشتهدهای کربناته کم ژرف باه دلیل پایین افتادن سطح آب دریا، زیر تأثیر دیاژنز جوی قرار می‌گیرند (تاکر و رایت، ۱۹۹۰؛ شول و اولمر شول، ۲۰۰۶؛ جیمز و جون، ۲۰۱۵). توالی پاراژنزی فرآیندهای دیاژنزی شناسایی شده در نمونه‌های کربناته از توالی مورد بررسی در زیر بررسی شده است.

۴-۵-۱- دیاژنز دریایی^۶

از جمله فرآیندهای اصلی این مرحله میکرایتی شدن، آشفتگی زیستی، قشرهای هم ستبرای سیمان هم بعد^۷ تا سوزنی، سیمان کلسیتی منیزیم‌دار تا رشته‌ای و تیغه‌ای است (محبوبی و همکاران، ۱۳۸۷؛ رحیم‌پور بناب، ۱۳۸۹؛ شول و اولمر شول، ۲۰۰۶). فرآیندهای دیاژنسی این

¹ Eogenetic

² Meteoric

³ Burial

⁴ Vadose

⁵ Phreatic

⁶ Marine diagenesis

⁷ Isopachous crusts

⁸ Meteoric diagenesis
⁹ whisker

جدول ۳. توالی پاراژنزی سنگ‌های آهکی واحد K₂ کرتاسه پایینی در برش مورد بررسی

فرآیندهای دیاژنزی	بالا آمدگی (Marine)	دفنی (Burial) متاوریک (Metacotic)	اهباع از آب (Telogenetic)	هواه (Phreatic) وادس (Vadose)
میکریتی شدن	_____			
آشفتگی زیستی	_____			
سیمان فیبری هم ضخامت	_____			
سیمان آویزه‌ای		_____		
سیمان کلسیت دروزی		_____		
سیمان کلسیت هم بعد هم ضخامت		_____		
سیمان اکسید آهن		_____	_____	
سیمان تیغه‌ای - منشوری		_____		
فسردگی		_____		
سیمان دولومیتی		_____		
سیمان کلسیت بلوکی		_____		
سیمان رشد هم محور		_____		
شکستگی		_____		

در این پژوهش با ارائه شواهد از ماسه‌سنگ‌های مورد بررسی از بخش قدیر و توالی آواری نهشته شده پس از فاز کوهزایی سیمیرین (واحد ۱_K) مشخص گردید که ترکیب اولیه ماسه‌سنگ‌ها تا چه حد در روند دیاژنز و محصول نهایی آن‌ها موثر بوده است. البته ترکیب اولیه ماسه‌سنگ به خودی خود تعیین کننده محصول نهایی نیست بلکه مجموعه‌ای از عوامل گوناگون که بر هم اثربارند، این فرایند را به پیش می‌برند. به طور کلی می‌توان گفت که محصول نهایی دیاژنز حاصل ترکیب و بافت اولیه سنگ، دما، فشار و تحول آبهای منفذی و البته مدت زمانی است که فرآیندهای دیاژنزی بر سنگ عمل کرده است. با این وجود، همان‌گونه که این پژوهش نشان داد ترکیب ماسه‌سنگ‌ها از راه تأثیر بر نوع و فراوانی سیمان‌ها و محصولات دگرسانی دانه‌ها در روند دیاژنس ماسه‌سنگ‌های بخش قدیر و توالی آواری کرتاسه موثر بوده است. از بررسی پتروگرافی فرایندهای دیاژنزی نهشته‌های کربناته توالی کرتاسه پیشین با کانی‌شناسی احتمالاً اولیه کلسیتی (سنبرگ، ۱۹۸۳؛ استنلی، ۲۰۰۶)، سبب پایداری و عدم انحلال و توسعه تخلخل در نهشته‌های کربناته گردیده است.

۴-۳-۵- دیاژنز تدفینی^۱

این مرحله از دیاژنس در ژرفای زیاد به همراه دمای بالا رخ می‌دهد. از جمله فرآیندهای دیاژنس دفنی شامل آبزدایی^۲، پوشش‌های فشردگی^۳، مرزهای همبrij فشرده و مضرس است (شول و اولمر شول، ۲۰۰۶). سیمان‌های دیاژنس تدفینی دارای رشد کند بوده در نتیجه بدون نقص و روشن هستند. از جمله سیمان‌های موزائیکی مرحله سیمان فیبری تیغه‌ای است. سیمان‌های موزائیکی و دروزی بزرگ، سیمان دولومیتی از جمله سیمان‌های این مرحله می‌باشد (رحیمپور بناب، ۱۳۸۹؛ شول و اولمر شول، ۲۰۰۶). فرآیندهای دیاژنسی این مرحله در نمونه‌های کربناته مورد بررسی شامل سیمان کلسیت منشوری، فشردگی، سیمان دولومیتی، سیمان بلوکی و سیمان رشد هم محور است (جدول ۳).

۴-۴- مرحله بالا آمدگی^۴

این مرحله پس از دیاژنس دفنی و در طی بالا آمدگی توسط عوامل تکتونیکی می‌باشد. در این مرحله انواع شکستگی ساخته شده است. هم‌چنین پر شدن رگه‌ها و شکستگی‌ها با انواع سیمان کلسیتی، دولومیتی و آهن‌دار رخ داده است (حسینی‌برزی و سعیدی، ۱۳۸۹).

نتیجه‌گیری

توالی مورد بررسی دارای ۱۶۷ متر ستبرای بوده و شامل بخش‌های بالایی بخش قدیر سازند نایبند و توالی آواری و

¹ Burial diagenesis

² Dewatering process

³ Compaction drape

⁴ Telogenetic

تیره تا بدون لومینسانس) گردیده است. ترکیب پایدار نهشته‌های کربناته با ترکیب کانی‌شناسی احتمالاً کلسیتی سبب گسترش نیافتن فرآیندهای انحلال و تخلخل گردیده است.

منابع

- آقانباتی، ع (۱۳۸۵) زمین‌شناسی ایران، سازمان زمین‌شناسی و اکتشافات معدنی کشور، ۵۸۶ ص.
- حسینی‌بزی، م، و م، سعیدی (۱۳۸۹) برخاستگاه زمین‌ساختی ماسه‌سنگ‌های سازند پادها در برش سمیر کوه، ایران مرکزی: با در نظر گرفتن تأثیر فرآیندهای دیاژنری بر ترکیب ماسه‌سنگ‌ها، علوم زمین، شماره ۸۹ ۱۴۷-۱۵۸ ص.
- رحمی‌پور بناب، ح (۱۳۸۹) سنگ‌شناسی کربناته با نگرشی بر کیفیت مخزنی، انتشارات دانشگاه تهران (چاپ دوم)، ۵۵۴ ص.
- صالحی، مع، آدبی، م، ح، قلاوند، ۵، م. خطیبی مهر (۱۳۸۹) محیط رسوبی، دیاژنر و ژئوشیمی سازند فهلیان در برش نمونه (تاقدیس فهلیان) و میدان نفتی گچساران، نشریه علوم زمین، شماره، ۷۶ ۳۳-۴۴ ص.
- محبوبی، ا، موسوی حرمسی، ر، قراچی، م، ح، منصوری دانشور، پ، و م، خانه‌باد (۱۳۸۷) تفسیر توالی پاراژنیکی رسوبات رسوبات کربناته کرتاسه فوقانی در شمال شرق بختستان، مجله علوم دانشگاه تهران، جلد ۳۴، شماره ۲، ۷۵-۸۵ ص.
- موسسه جغرافیایی و کارتوگرافی گیتاشناسی (۱۳۸۴) اطلس راههای ایران مقیاس ۱:۱۰۰۰۰۰، ۲۷۱ ص.
- مزروعی سبدانی، ز (۱۳۹۵) بررسی رخساره‌ها، محیط رسوبی و جایگاه تکتونیکی نهشته‌های آواری و کربناته بخش‌های پایانی تریاس و کرتاسه پایینی برش کوه بخاره در منطقه دیزلو، شمال شرق اصفهان، پایان‌نامه کارشناسی ارشد، دانشگاه اصفهان، ۱۹۸ ص.
- مزروعی سبدانی، ز، م، ع. صالحی، ح. ر. پاکزاد، و ع. بهرامی (۱۳۹۵) پتروگرافی و ژئوشیمی ماسه‌سنگ‌های بخش قدری از سازند نایبند و توالی قرمز کرتاسه پایینی در برش کوه بخاره، شمال شرق اصفهان: کاربرد در تعیین جایگاه تکتونیکی، سنگ مادر و آب و هوای درینه، بیستمین همایش انجمن زمین‌شناسی ایران، ۹۹-۹۷ ص.
- منانی، م، و م. یزدی (۱۳۹۴) پالئاکولوژی و محیط دیرینه نهشته‌های تریاس پسین ایران با تأکید بر یافته‌های جدید در برش دیزلو (شمال خاور اصفهان)، بر اساس حضور مرجان‌های اسکراکتینا: فصل‌نامه علوم‌زمین، شماره ۹۵، ۲۸۱-۲۹۰ ص.

کربناته کرتاسه پایینی در شمال خاور اصفهان می‌باشد. بررسی دیاژنر ماسه‌سنگ‌ها منجر به شناسایی فرآیندهای آشفتگی زیستی، دگرسانی فلدسپات، همبrij طولی و نقطه‌ای، سیمان کلسیتی و سیمان کلسیت دروزی، سیمان اکسید آهن و سیمان کانی رسی گردید؛ که در مرحله ائوژنر رخ داده‌اند. از فرآیندهای یادشده، سیمان کانی رسی به دلیل ترکیب پتروفاسیس‌های آرکوز و لیتیک‌آرکوز بخش قدری دارای فراوانی بالای نسبت به پتروفاسیس‌های توالی آواری کرتاسه پایینی می‌باشد. از جمله فرآیندهای مرحله مزوژنر ادامه دگرسانی فلدسپات، فشردگی شیمیایی، سیمان دولومیتی، سیمان رشد هم‌محور کوارتز و سیمان کانی رسی می‌باشد؛ که در میان این فرآیندها، دگرسانی فلدسپات در پتروفاسیس‌های بخش قدری و سیمان رشد هم‌محور کوارتز در پتروفاسیس‌های ساب چرت آرنایت و ساب فیلانایت توالی آواری کرتاسه پایینی بیشتر وجود دارد که متأثر از ترکیب پتروفاسیس‌های یادشده می‌باشد. فرآیندهای تلوژنر شامل سیمان‌های اکسید آهن، کانی رسی و نیز فرآیندهای شکستگی و پرشدگی رگه توسط سیمان دولومیتی و کلسیتی می‌باشد. نتایج بررسی دیاژنر نهشته‌های آواری توالی مورد بررسی از بخش قدری و نهشته‌های بعد از فاز کوهزاوی سیمرین (واحد K1 کرتاسه پایینی) نشان از تأثیر ترکیب بر روند و محصولات دیاژنری است. از بررسی دیاژنر در سنگ‌های کربناته (واحد K1 کرتاسه پایینی) نیز فرآیندهای میکرایتی شدن و آشفتگی زیستی، سیمان فیری هم ستبرای در مرحله دیاژنر دریایی و سیمان آویزهای و اکسید آهن وابسته به مرحله دیاژنر هواده شناسایی شده است. سیمان آویزهای و کلسیت دروزی و دندانهای، سیمان اکسید آهن، مربوط به دیاژنر اشباع از آب مرحله متئوریک می‌باشد. از فرآیندهای دیاژنر دفنی، فشردگی، سیمان تیغه‌ای- منشوری، سیمان دولومیتی، بلوکی، رشد هم‌محور و شکستگی می‌باشد. در طی بالا آمدگی نیز سیمان اکسید آهن و شکستگی و پر شدن آن رخ داده است. از جمله بررسی‌های دیاژنر سنگ‌های کربناته بررسی کاتدولومینسانس می‌باشد که منجر به شناسایی مراحل مختلف دیاژنر دریایی (لومینسانس تیره و کدر تا بدون لومینسانس، هواده (لومینسانس روشن و کدر)، فریاتیک (لومینسانس روشن و شفاف) و دیاژنر دفنی (لومینسانس

- iranischen Teil des Koppeh-Dagh (NE-Iran): Zitteliana, 21: 159-190.
- Ingersoll, R. V., T. F., Bullard, R. L. Ford, J. P. Grimm, J. D. Pickle, and S. W. Sares (1984) The effect of grain size on detrital modes: A test of Gezzi-Dickinson point-counting method: *Journal of Sedimentary Research*, 54: 103-116.
- James, N. P., and B. Jones (2015) Origin of Carbonate Sedimentary Rocks, Wiley, 446 p.
- Jiménez-Espinosa, R., and J. Jiménez-Millán (2003) Calcrete development in Mediterranean colluvial carbonate systems from SE Spain, *Journal of Arid Environments*, 53: 479-489.
- Jinliang, Z., Q. Lijuan, and Z. Zhongjie (2008) Depositional facies diagenesis and their impact on the reservoir quality of Silurian sandstone from Tazhong area in central Tarim Basin, western China, *Journal of Asian Earth Sciences*, 33: 42-60.
- Kim, J. C., Y. I. Lee, and K. Hisada (2007) Depositional and compositional controls on sandstone diagenesis, the Tetori Group (Middle Jurassic-Early Cretaceous), central Japan, *Sedimentary Geology*, 195: 183-202.
- Machel, H. G (2000) Application of cathodoluminescence to Carbonate diagenesis, In Pagel M., V. Barbin, P. Blance, and D. Ohnenstetter (Eds.), Cathodoluminescence in Geosciences, Springer, Berlin, p. 271-301.
- Major, R. P (1991) Cathodoluminescence in Post-Miocene carbonates, Luminescence Microscopy and Spectroscopy, Qualitative and Quantitative Applications: SEPM, Short Course, 25: 149-53.
- Mannani, M., and M. Yazdi (2009) Late Triassic and Early Cretaceous sedimentary sequence of northern Isfahan province (central Iran): Stratigraphy and paleoenvironment, *Boletín de la Sociedad Geológica Mexicana*, 61: 374-637.
- Mansurbeg, H., S. Morad, A. Salem, R. Marfil, M. El-Ghali, J. Nystrøm, M. Caja, A. Amorosi, D. Garcia, and A. La Iglesia (2008) Diagenesis and reservoir quality evolution of Palaeocene deep-water, marine sandstones, the Shetland-Faroes Basin, British continental shelf, Marine and Petroleum Geology, 25: 514-543.
- Marshall, D. J (1988) Cathodoluminescence of Geological Materials, Winchester, MA, Allen and Unwin, 128 p.
- McBride, E. F (1989) Quartz cement in sandstones: a review, *Earth Science Reviews*, 26: 69-112.
- Melim, L. A., H. Westphal, P. K. Swart, G. P. Eberli, and A. Munnecke (2002) Questioning carbonate diagenetic paradigms, evidence from the Neogene of the Bahama: *Marine Geology*, 185: 27-53.
- Al-Ramadan, K. A., M. Hussain, B. Imam, and S. Saner (2004) Lithologic characteristics and diagenesis of the Devonian Jauf Sandstone at Ghawar Field, eastern Saudi Arabia, *Marine and Petroleum Geology*, 21: 1221-1234.
- Amini, A (2011) Red colouring of the Upper Red Formation in central part of its basin, central zone, *Iranian Journal of Sciences*, 12: 145-156.
- Bathurst, R. G. C (1975) Carbonate Sediments and their Diagenesis, Elsevier Science Publication Company, New York, 658 p.
- Bernet, M., and K. Bassett (2005) Provenance analysis by single quartz-grain SEM-CL/Optical microscopy, *Journal of Sedimentary Research*, 75: 492-500.
- Bernet, N., D. Kapoutsos, and K. Bassett (2007) Diagenesis and provenance of Silurian quartz arenite in south-eastern New York State, *Sedimentary Geology*, 201: 43-55.
- Boggs, S., and D. Krinsley (2006) Application of Cathodoluminescence Imaging to the Study of Sedimentary Rocks, Cambridge University Press, 165 p.
- Brigaud, B., Ch. Durlet, J. F. Deconinck., B. Vincent., J. Thierry., and A. Trouiller (2009) The origin and timing of multiphase cementation in carbonates: Impact of regional scale geodynamic events on the Middle Jurassic Limestones diagenesis (Paris Basin, France), *Sedimentary Geology*, 222: 161-180.
- Burley, S., and R. H. Worden (2003) Sandstone Diagenesis, Recent and Ancient, Reprint of International Association of Sedimentologist, Blackwell, Scientific Publication, London, 649 p.
- Cook, M. L., A. Simo, C. A. Underwood, and P. Rijken (2006) Mechanical stratigraphic controls on fracture patterns within carbonates and implications for groundwater flow, *Sedimentary Geology*, 184: 225-239.
- Dickinson, W. R (1988) Provenance and sediment dispersal in relation to paleotectonics and paleogeography of sedimentary basin, In Kleinspehn, K. L., and C. Poala, (Eds.), New Perspective in Basin Analysis, Springer, p. 3-25.
- Dickson, J. A. D (1965) A modified staining technique for carbonate in thin section, *Nature*, 205: 587.
- Einsele, G (2000) Sedimentary Basin Evolution, Facies and Sediment Budget (2nd edition), Springer, 792 p.
- Flügel, E (2010) Microfacies of Carbonate Rocks, Analysis, Interpretation and Application (2nd edition), Springer, Berlin, 984 p.
- Folk, R. L (1980) Petrology of Sedimentary Rocks (2nd edition): Hemphill, Texas, 170 p.
- Immel, H., K. Seyed-Emami., and A. Afsharharb (1997) Kreide, Ammoniten aus dem

- Porosities of Sandstones and Associated Rocks, The American Association of Petroleum Geologists, 502 p.
- Scholle, P. A., and D. S. Ulmer-Scholle (2006) A Color Guide to the Petrography of Carbonate Rocks, American Association of Petroleum Geologists, Memoir, 77, 459 p.
- Senowbari-Daryan, B., and K. Rashidi (2010) Foraminifera and their associations of a possibly Rhaetian section of the Nayband Formation in central Iran, northeast of Esfahan: Facies, 56: 567-596.
- Seyed-Emami, K (2003) Triassic in Iran: Facies, 48: 91-106.
- Seyed-Emami, K., and M. Wilmsen (2016) Leymeriellidae (Cretaceous ammonites) from the Lower Albian of Esfahan and Khur (Central Iran): Cretaceous Research, 60: 78-90.
- Stanley, S.M (2006) Influence of seawater chemistry on biomineralization throughout phanerozoic time: Paleontological and experimental evidence, Palaeogeography, Palaeoclimatology, Palaeoecology, 232(2-4): 214-236.
- Tucker, M. E. and V. P. Wright (1990) Carbonate Sedimentology, Wiley, 482 p.
- Tucker, M. E (2001) Sedimentary Petrology (3ed edition), Blackwell science, 287 p.
- Weber, J. and W. Ricken (2005) Quartz cementation and related sedimentary architecture of the Triassic Solingen Formation, Reinhardswald Basin, Germany, Sedimentary Geology, 175: 459-477.
- Wilmsen, M., F. T. Fürsich, and M. R. Majidifard (2015) An overview of the Cretaceous stratigraphy and facies development of the Yazd Block, western Central Iran, Journal of Asian Earth Sciences, 102: 73-91.
- Worden, R. H., and S. Morad (2000) Quartz cementation in oil field sandstones: a review of the key controversies: In Worden, R., S. Morad, (Eds.), Quartz Cementation in Sandstones, International Association of Sedimentologists, Special Publication, 29: 1-20.
- Worden, R., and S. Burley (2003) Sandstone diagenesis, the evolution of sand to stone: In Burley S. D. and R. Worden (Eds.), Sandstone Diagenesis: Recent and Ancient, Blackwell Publishing, p. 3-44.
- Molenaar, N., J. Cyzine, and S. Saulius (2007) Quartz cementation mechanisms and porosity variation in Baltic Cambrian sandstone, Sedimentary Geology, 34: 310-316.
- Morad, S (1998) Carbonate Cementation in Sandstones, International Association of Sedimentologists, Special Publication, 26: 446 p.
- Morad, S., J. M. Ketzer, and L. F. D. Ros (2000) Spatial and temporal distribution of diagenetic alteration in siliciclastic rocks: Implications for mass transfer in sedimentary basins, Sedimentology, 47: 95-120.
- Morad, S., K. Al-Ramadan, J. M. Ketzer and L. F. De Ros (2010) The impact of diagenesis on the heterogeneity of sandstone reservoirs: A review of the role of depositional facies and sequence stratigraphy, American Association of Petroleum Geologists Bulletins, 94: 1267-1309.
- Mork, M. B. E. and K. Moen (2007) Compaction microstructures in quartz grains and quartz cement in deeply buried reservoir sandstones using combined petrography and EBSD analysis, Journal of Structural Geology, 29: 1843-1854.
- Nützel, A., M. Mannani, B. Senowbari-Daryan, and M. Yazdi (2010) Gastropods from the Late Triassic Nayband Formation (Iran), their relationships to other Tethyan faunas and remarks on the Triassic gastropod body size problem: Neues Jahrbuch für Geologie und Paläontologie-Abhandlungen, 256: 213-228.
- Olivarius, M., R. Weibel., M. L. Hjuler., L. Kristensen., and A., Mathiesen (2015) Diagenetic effects on porosity-permeability relationships in red beds of the lower Triassic Bunter Sandstone Formation in North German Basin., Sedimentary Geology, 321: 139-153.
- Reed, J. S., K. A. Eriksson, and M. Kowalewski (2005) Climate, depositional and burial controls on diagenesis of Appalachian Carboniferous Sandstones qualitative and quantitative methods, Sedimentary Geology, 176: 225-246.
- Samankassou, E., J. Tresch, and A. Strasser (2005) Origin of peloids in Early Cretaceous deposits, Dorset, South England, Facies, 51: 264-273.
- Sandberg, P.A (1983) An oscillating trend in Phanerozoic nonskeletal carbonate mineralogy. Nature 305, p. 19- 22
- Schmid, S., R. H. Worden, and Q. J. Fisher (2004) Diagenesis and reservoir quality of the Sherwood Sandstone (Triassic), Corrib Field, Slyne Basin, west of Ireland, Marine and Petroleum Geology, 21: 299-315.
- Scholle, A. P (1979) A Color Illustrated Guide To Constituents, Textures, Cements, and